

## 目次

## 録

## .2) 耐火材並に燃料及び驗熱

**最近に於ける製鐵工場用耐火物** (Spotts J. Medowell, B. F. & S. P. Jan. 1938) 1937 年に於ける製鐵用耐火物に關する著しい發達としては粘結劑を使用して化學的に結合せしめたマグネシヤ煉瓦（メタルケースを含む）フォルステライト煉瓦、マグネシヤを結合剤とするクロム煉瓦等の製造上の改良進歩とその使用範囲の擴大及び高級シャモツト煉瓦、斷熱煉瓦、斷熱耐火煉瓦の使用の増加することをあぐべきである。

化學的結合剤を使用せるマグネシヤ煉瓦は最近その製造法の進歩に依て比重、強度を増加し高溫に於ける收縮も少い、この煉瓦はその三面を軟鋼鉢を以て包んで使用することもある。この進歩したメタルケースマグネシヤ煉瓦は平爐の前壁後壁等によく使用せられるものであり、電氣爐に於てはスラッグラインより天井迄の側壁に使用して有效である。ドロマイドやマグネサイトを焼く迴轉窯の燃燒帶のライニングには化學的結合剤を使用せるマグネシヤ煉瓦は高礮土質煉瓦よりも優れて居る。

1937 年に於てはフォルステライト煉瓦の性質が改良されその使用も增大するに至た。フォルステライト耐火物の原料たる橄欖岩は過去 4 年間に於ける経験に依て可成り良質のものを得るに至た。熔融點の低い隨伴礦物を多く含有する橄欖岩を除去して焼成すればフォルステライトの量を増加せしめその物理性を良好にする。最近に於ては粉碎方法の改良や焼成溫度を高める等の製造工程の變化に依てこの煉瓦の密度を大ならしめて居る。多くの工場に於てこの煉瓦は平爐側壁の上部に使用され又上昇道や噴出口にも、好結果を得て居る。然し經驗上珪石煉瓦に接する場所には使用し得ないとされて居り又マグネシヤ煉瓦より平爐淬に對して抵抗性が少い。ドロマイド焼成窯のライニングにフォルステライト煉瓦を使用する事は極く最近に始るもので廣く行はれて居ないが今迄に施行された結果では非常によく迴轉窯のライニングとしては相當に有望視されて居る。

過去 4 年間に於てマグネシヤを結合剤とするクロム煉瓦の發達は著しいものがあり殊にそのスパーリング抵抗性及び高溫に於ける耐荷重軟化性に關して良質のものを得た。クロム煉瓦は概して平爐の操業溫度より著しく低い溫度で軟化するものであるがこれはクロム礦の礦物學的組成に起因するものである。クロム礦 ( $FeO \cdot Cr_2O_3$ ) は一種のスピネルであるが常に單獨には存在せず滑石や蛇紋岩の如き珪酸苦土質の隨伴礦物を含有し、これ等の隨伴礦物は耐火度が低く高溫度になれば珪酸苦土質は全部或は一部熔解しかくして煉瓦の高溫に於ける耐荷重性は著しく減少する。然し乍らフォルステライトと稱する珪酸苦土は極めて耐火度が高く、實驗室的研究に於てはクロム礦中の不良の珪酸苦土は製造の際に添加するマグネシヤとの化學反應に依りフォルステライトに變化せしめ得ることが證明せられた。焼成クロム煉瓦ではフォルステライトは焼成中生成し粘結剤を使用した不焼成クロム煉瓦に於ては爐に使用された後生成するものである。

高級シャモツト煉瓦も二三年前より發達したものであり、その

著しい特徴はスパーリング抵抗性強く、氣孔度が小さくスラッグやガスの滲透性の少いこと及び強度が大きく高溫に於ける收縮の少いこと等である。このものは普通の高耐火度のシャモツト煉瓦より  $Al_2O_3$  を 4% 多く含有し軟化點は 75~100°F 高い。製鐵工業に於ては加熱爐、鍛工爐、鍛接爐、可鍛鑄鐵燒鈍爐々底に使用して有效であり又熔鑄爐の熱風爐や平爐蓄熱室の格子積上部、弧光式電氣爐の天井等にも使用し得るものである。

過去 10 年間に高壓成形に依る煉瓦の使用が急激に増加した。この煉瓦は質の緻密なる程利用性が多い。數ヶ年に亘る實驗研究の後成形型内の粘土中に介在する空氣を壓縮成形の直前に除く方法が考案されこの結果成形壓力は從前に比して倍加するに至た。この方法に依り製造した煉瓦は重量に於て 5% 増加し氣孔度は約 1/4 を減じた。この真空壓縮煉瓦は熔鑄爐のライニング、熱風爐及び平爐蓄熱室の格子積上部、石灰燒成窯の燃燒帶、その他特に密度の大なる煉瓦を要する個所に使用される。

高級シャモツト煉瓦及び高礮土質煉瓦の使用に依り断熱煉瓦の利用が以前より遙かに實用化し近來は断熱耐火煉瓦の品質の向上及びその利用の増加が著しくなつた。断熱煉瓦の断熱性は極めて大であるが耐火度が比較的低いため使用の範囲も從て制限せられる。壁やアーチを築造する場合裏付としては有利に使用し得るが爐ガスに直接曝される場合には不適當である。断熱耐火煉瓦は輕量にして比較的断熱性の大なる焼成耐火物で緻密な耐火煉瓦に比して 3~4 倍の断熱性を有する。スラッグや摩耗に對して抵抗性はないが爐ガスと直接に接する個所にも安全に使用し得る。一般に 2,500°F 以下の溫度に於ては爐壁や天井の築造に差支へない。又緻密な耐火煉瓦の裏付としてその接觸面の溫度の高い場合は断熱煉瓦に代て使用される。断熱耐火煉瓦は溫度變化の甚しい燒鈍爐に使用して極めて有效であり、又これを以て築造せる爐壁に於て高溫時に蓄積される熱量は高耐火度の煉瓦を使用せる場合の 25~35% である。從て操業溫度に速かに上昇せしめ、或は溫度を變化させる場合は效果的であり熱の損失が少い。然し概して断熱耐火煉瓦は連續的に操業する爐には最適のものではなく、連續式の燒鈍及熱處理爐、加熱爐、電氣爐、平爐蓄熱室等の爐壁には耐火煉瓦と断熱煉瓦にて裏付したものを使用するのが普通である。但しガス發生爐の煙道は断熱耐火煉瓦と断熱煉瓦を以て裏付して極めて好結果であった。(T. H.)

**鐵鋼業に於ける耐火材料の問題(第 1 報)** (Felix Singer, Iron & Steel Ind. May 1938) 鐵鋼業と耐火材料工業とは極めて密接な關係を有するが耐火材料が應用される時に問題となる點は次の如くである。

- 溫度の高低、耐火材料が加熱される状況（即ち一方のみ加熱されるか兩側から加熱されるか）
- 操業が連續的か否か、溫度の變動が早いか遅いか
- 焰が直接耐火物に接觸するか否か
- 如何なるガスが耐火物に接するか、其のガスは清潔か否か、且其のガスの流速が早いか否か
- 耐火材料が熔金屬、熔剤、塵埃、煙に依り化學的に作用されるか、熔剤は腐蝕性が強いか否か、その物理的性質如何

- F. 耐火物が大なる荷重又は高溫に於ける磨耗を受けるか否か。  
 G. 熱が傳導されるか其の儘留められるか、又は電氣傳導度の高い事が必要か否か。

今日の鐵鋼業は耐火材料工業をして新らしい問題に直面させるに至た、即ち品質をより向上せしめ且生産の規模をより大とする爲に耐火物に對する要求がより苛酷となつたのである。故に高爐用煉瓦に就ても種々の再検討が行はれた、高爐用煉瓦の受ける破壊力は熔鐵、熔滓、磨耗、高壓等がこれである。此の破壊力は非常に激烈なもので鹽基性又は酸性の煉瓦のいづれも充分此れに耐へる事は難しい。

又鑄物工場に於ける熔銑爐の場合にも次の破壊力が作用する。

- (5) 熔解帶の大量的熱 (2) 熔剤と鑄滓に依る化學的 erosion  
 (3) 通風の影響 (4) 裝入物に依る磨耗 (5) 剥落

以上述べた如き破壊力に對抗する爲に最近に至て空氣を含まぬ煉瓦が作られて居る、即ち煉瓦の成型の場合に真空を利用するのである。かくすれば他の性質は大して變らずに其の密度を増加する。唯熱傳導率と磨耗抵抗が高くなる。

煉瓦番號	重量 lbs	0.5 lb の壓力の下に 2,000 cc の空氣を通す時間
1 ("9 x 4 1/2" x 3")	8.75	3.5 min
2 " "	9.05	12.5
3 (真空成型) ("")	9.15	14.0

かくの如くガスの通りの悪い事は熱的に言ても有效な事を示す。

(S. O.)

國家の燃料供給の變化 (Conway, M. J. B.F. & S.P. p. 99, 38') 過去 20 年間に起た著しい變化の一つは各種燃料の消費とエネルギー發生上のそれらの關係上の變化であらう。石油及天然ガス工業は非常な發達をなしたから 1913 年國家の供給した全礦業燃料エネルギーの 14% を產出したことになり 1936 年に比較す

米國に於ける各種燃料の發達比較表  
 (1918 年を 100 として他の年はその%で示す)

年	ベンシル 無煙炭	瀝青炭	全石炭	石油(粗製)			重油	水力
				國內	輸入	天然 ガス		
1889	46	17	21	10	—	35	15	11
1899	61	33	37	16	—	31	19	16
1904	74	48	52	33	—	43	33	28
1909	82	66	68	51	—	67	52	49
1913	93	83	84	70	45	81	71	70
1918	100.0	100.0	100.0	100.0	100.0	100.0	100.0	100.0
1919	89	80	81	106	140	103	108	107
1920	91	98	97	124	282	111	132	116
1921	92	72	74	132	333	92	137	109
1922	55	73	70	156	338	106	157	122
1923	94	97	97	206	118	140	191	136
1924	89	83	84	201	207	158	191	139
1925	63	90	86	215	164	165	199	154
1926	85	99	97	217	160	182	204	178
1927	81	89	88	253	155	201	203	202
1928	76	86	85	253	212	218	241	232
1929	75	92	90	283	210	266	274	230
1930	70	81	79	252	165	270	250	222
1931	60	66	65	239	126	234	230	206
1932	50	53	53	221	119	216	212	227
1933	50	57	56	252	90	205	229	231
1934	58	62	61	255	94	246	241	227
1935	53	64	63	280	85	266	262	264
1936	55	75	72	309	86	288	287	270

ると 40% を示す。これらは總エネルギー供給量の 2% にしか當らないのではあるが全燃料エネルギー利用による能率向上から見なした有效仕事量は 100% 近くまで増加したことになる。總エネルギー供給の 20% の増加は殆ど全部増加した水力エネルギーによつて供給せられたもので燃料エネルギーの條件を同價値としたときに國の總エネルギー供給の 5% になる。このエネルギーは 20 年間に 170% 増加した。過去 40 年間に米國に約 5,000 のガス發生爐が建造せられた。その内約 2,700 が働いてゐるがその内あるものは時々しか働かせてゐない。かく減少したもののは大部分冶金工場にコークスガス、高爐ガス、天然ガス、重油を以て代用したためである。

高爐ガスの 50% は高爐作業以外に使用せられ、加熱熔解作業用にコークスガスや油と置換せられ粉コークスや石炭の代りに蒸氣用燃料として用ひられてゐる。石油ガスと混じてコークス爐ガスの代用として用ひられ、とくに發光を必要とする加熱作業に用ひられてゐる。天然ガス、石油ガス、コークス爐ガスと高爐ガスとを混じて利用する方法が増加したので高爐ガスを一層高級燃料に應用するやうになつた。復熱裝置設計と應用に於ける最近の進歩と共にこれは理想的な均熱爐燃料になつた。また近き將來に一部分は熔解作用に使用せられるであらう。1 k.W.H. に石炭の使用量が發電所では 189 年に 7.05 から 1933 年には 1.44 にさがつた。表は永年の傾向を示し國家の燃料供給の 50% 近くが 1942 年の末期近くでは石油と天然ガス工業から得るものであることを指示してゐる。(H.)

獨逸に於ける骸炭工業の發展(第 1 報) (Berthelst, Ch. Rev. de Mét. Avril 1938) Bernoulli の定理に依れば抵抗が無視出来る程度の通路を流體が通る時其の壓力は一定である。即ち動壓と靜壓の和は一定である。又水平通路に多くの直立支管が附屬して居る所を流體が通る時、流體の分布は此の支管下部の噴出孔の靜壓の差の 1/2 乗に比例する。

舊式の蓄熱室附骸炭爐に於て側壁の直立焰管中のガスの分布は前述の理由で決して一様ではなく、從て爐壁全體の均一な加熱は不可能である。實際に於ては此れを匡正する爲に直立焰管の上方に調節弁を備へて居るが不便不正確であつて作業は極めて難しい。更に大なる不便は調節弁を入れた爲にガス流が妨げられる事に由來する。此の對策として獨逸に於ては二重直立焰道爐が作られた。此れは上昇管と下降管とが交互に存在する如くにしてある。かくして操業狀態が如何なる場合も各下降管は 2 つの上昇管に挾まれ、下降管に相當する爐壁の狹い部分は耐火煉瓦に依て相接する上昇管から發生した熱の一部を吸收する。

更に一つの此の裝置の利益はガス回路が明瞭で且短いと言ふ點にある。其の回路の各々は 2 つの直立焰道の高さに相當し、加熱用ガスに對する抵抗の點で全く同等であり從て加熱は極めて均一化される。Otto 會社は燃燒空氣入口と燃燒生成物出口の側にかくの如き配置をなす事に依て爐は著しく改良された。此の條件の下に側壁直立焰管出口と入口の間に存在する靜壓の差は加熱室の全體に亘て一定となる。故に何等調節裝置を用ふる必要は無い。

Otto 爐の他の重要な特性は短い焰管を使用し且其の管の大部分が垂直で此れは側壁直立焰管下に置かれてある小蓄熱室の使用を意味する。以上の裝置の他にガス回路の壓力の變化が小なる爲に不燃焼ガスが直接焰道へ抜ける事なく極めて經濟的である。

加熱用ガスの費用の大小は熱量の小なるガスを用ふる時主として蓄熱室に於ける損失の大小に依る。言ふ迄も無くガス流壓の損失が少なければ此れは問題にはならぬが、一般に二重直立焰管を持た燃

燒室が蓄熱室と直接且垂直に連絡して居る時に此の條件が満足される。事實 Otto 爐は壓損失が水柱で 2~4 mm に過ぎず、舊式爐の  $1/3$ ~ $1/4$  程度である。

Otto 爐に於てバーナーは近づき易く設計されてあるので便利である。  
(S. O.)

### 3) 鋼鐵及鐵合金の製造

**熔鑄爐及び原料の發展** (Joseph, T. L. B.F. & S.P. Jan. 1938, Page 47) 米國に於ける過去 4 ヶ月間中製銑量の著しく衰微することは高爐數で示されてゐる。即ち 9 月 191 基, 10 月 181 基, 11 月 151 基, 12 月 114 基。この衰微にも拘らず鐵鑄の積出しがレイクスピリヤー鐵鑄協會に依ると 1929 年以來の激しさであつた。1929 年 6,550 t に比較して 1937 年には約 6,250 t レイクの鑄石が動いてゐる。總噸數 12,000 t の重量を積載しうる鑄石船が進水したが之は 8 年間中に於ける最大な船である。

屑鐵の値段が高くなつたことが平爐に熔銑を多く使用するやうに刺戟したのである。かく高價な期間中はベツセマー、コンバータを備へた工場が經濟的に有利な地位を占めた。銑鐵の比を 45% から 50% にしたとき、沸溢性で多量の滓が出来るから傾注式でない平爐は非常な苦心を嘗めねばならぬ。但製鋼時間は永引き、爐の能力が次第と減じ、特に低炭素鋼の場合は甚しい。然し米國の南部地方ではデウブレツクス法が正規になつてゐるから多量の熔銑が平爐に使用せられて自然爐の製鋼能力は増加することが出来た。

鐵鑄の露出せる鑄山ではベルトコンベヤー、トラック、トラクター、ドライバーが多くの人によつて有利であることが認められてゐる。何となれば穴が深くなると多くの場合種々の障害物に出逢ふからだ。スクリュ鑄山ではベルトコンベヤーの長さが 4,500 ft で垂直の長さは 386 ft で 1 時間 750 t の割合で鑄石を運んでゐる。昔、舟積に櫓や一輪車や多くの人手に依て運んでゐた當時と比較すれば驚くべき進歩である。各鑄山によつて多少相違はあるけれどもミネソンタ鑄山ではコンベヤ法を確立したかの感じがする。

鐵鑄石の利用法としては所謂洗滌鑄を用ひるといふよりかこれを濃縮化しようといふのがこゝ數年來の傾向である。目下コンセントレイトせられて多くは  $SiO_2$  が大部分 100 メッシュ以下の粒として存在するものである。洗滌鑄石は微細な部分は減少してゐるから約 100 メッシュに選鑄せられてゐるのが現状だ。ボール分離器から溢れ出るこの微細なものは珪酸分のない非常な微細な粒を多量に含むでゐる。最近浮粒選鑄試験がミネソンタ大學冶金學教室のシラーフ氏に依て試みられたがボール分離器から溢れ出るもの濃縮化したのであるがなかなかいゝ結果を得た。これは微細なる故焼結するか團鑄とする必要がある。貧鐵鑄に對する種々の利用法があるけれども浮遊選鑄法が一番考慮を拂はれてゐる。

鐵鑄石の價値は鐵分含有量と珪酸分の量及成分によつて決定せられ、物理的特性即ち有孔性、大小及び大きさの不均一性に依て定まる。南部地方の鑄石は珪石の粒の周圍に赤鐵鑄があるので濃縮化は困難であるがこの問題は研究中である。そこである會社では鑄石を粉碎し選鑄するといふ物理的方法が大いに發達した。粉鑄は  $1/4''$  に焼結する。選鑄法の面白い方法がハユラ氏によつて發明せられたこの方法は第一のクラッシャーで鑄石を  $4''$  程度にくだき次のクラッシャーで  $1''$  にする。粉碎した鑄石は非常に能力的な二重式になつた deck shaker screen に懸けて  $1''$  以上,  $1''$  以下,  $1/4''$  以上  $1/4''$  以下の四つに分離する。 $1/4''$  以下は煙塵と混じて焼結する

高爐用コークスの適當に評價する問題はいまだ解決してゐない。粉碎試験、轉倒試験等の物理的方法をある工場でやつてゐるがこれにも缺點があつて一般に認められてはいぬ。鐵中の Si が漸減或は急激に減少するのと、爐の操業法や原料に甚しい相違のない拘らず S の鐵中の含有量と正反対の關係にある。これは爐の取扱ひ上最も困難な問題の一つである。かく Si と S の量に正反対の増減のあることが物理的變化に原因することが屢々あり、とくにコークスの大小に關係する。これはコークスの大きさに變化があると裝入物を通ずるガスの分布に變化があるためである。

銑鐵の成分を自由にする溫度の大切な例證は鑄山局と Inland Steel Company との間で行はれた綜合研究中に得られた。圖 2 はこの關係を示すものであるが、溫度が高くなると S は減少し Si は高くなつてゐる。(圖は省略) ルツボの溫度以上に密接なコントロールを保たしめることが均一な銑鐵を製造する上に於て大切なことを明にしてゐる。コークスは裝入量の 50~60% を占めるが故にコークスの大きさの變化は爐の操業に於いて多くの解き明し得ない變化に對する鍵であるガスの分布上の變化に勿論關係あるのである。ガスの分布狀態の廣くして重大な諸變化を見極めることは困難なことである。從て各爐に適したガスの最良の分布狀態を決定し、必要なコークスの大きさを定めることも困難である。平爐操業上大切な問題は湯が所定の C を有することと、出鋼以前にスラグを成熟せしめるやうに屑鐵と銑鐵との比を定めることである。熔銑と共に多量の Si を入れることも大切なことで、この Si が  $SiO_2$  となりこれが  $CaO$  と反應して希望の鹽基度を以たスラグを造る。平爐でやる大切な 2 つの特徴となつてゐる脱硫と酸化鐵のコントロールはスラグの鹽基度に關係する。鑄滓の造り方も進歩し鑄滓の鹽基度を判斷する新しい諸方法も發展しているけれども熔銑の分析結果と明記せられた範囲の平均が再生せられるものとの一致は熔銑の質を知る最良の標準であることが次第に明かになつてきた。Si と S の量が合理的に再びつくり出すことが出來れば出鋼時の湯の溫度は一定である。然し平爐に裝入せられた鐵の溫度は高爐と平爐の間の熱の損失による差によつて非常な變化をうけやすい。これは高爐より出たまゝの湯と混銑爐の湯との溫度に約  $175^{\circ}F$  の差異あることに依り、又高爐から熔銑をうけない間、混銑爐の溫度の低下に依て證明せられる。バアミンガムで先年 5 月採鑄冶金技術者の會合があつたが希望の Si 範囲について意見の一致がなかつた。何となれば使用する屑鐵の量に依るからである。しかし均一にすべしとは全員一致であつた。平爐内の鐵の行動は普通にやつてゐる分析とか溫度で説明することが出來ない。この様な漠然とした特性はどうあらうが平爐操業でスラグを巧く扱ひうるといふのが進歩への大道である。熔鐵に關する限り均一な Si を保たしめることが假想的な不統制な漠然とした鐵の諸性質を知つてゐるより效果的だ。ある平爐操業者は鹽基性平爐につき次の諸點を提起してゐる。溫度  $2,700^{\circ}F$ , Si 0.50%, Mn 1.5~2.0%, P 0.2%, S 0.025% 以下。Si 及び S が低く Mn が高い鹽基性の鐵は鑄滓が少なく、熱の昇りが早く、製鋼量大で、Mn の歩止り大で燃料は少なくて済む。高爐でこのやうな鐵を造るには普通でつくるよりも遙かに多くの鹽基性の鑄滓を必要とするだらう。されば t 敷は減少し銑量は減り燃料消費及びコストは増加する。このやうな平爐製鋼法の進歩に依て銑鐵のコストが増加しても相殺するといふ立前から實行するか或は酸性の鑄滓にして低溫度で高爐を動かし出銑してから S を除去し Mn を追加するかいづれか 2 者の内一つを選ばねばならぬことにならう。餘分の S は炭

酸ソーダ 25%, 融石 25%, 石灰石 50% よりなる脱硫剤を鍋の中に投入して出銑することによって除去せらる。脱硫に4つの階程がある。第1は高炉用鍋で混銑爐に送られる間、第2は混銑爐中で  $MnS$  の形で、第3は混銑爐用鍋に二度振りの脱硫剤を入れることにより、第4は鹽基性ベツセマー法に依る除去に依り、大部分は轉爐で吹くときであつてコルコルプ氏によつて引用せられた日々の平均に依れば轉爐に装入せられるときの  $S$  が 0.56~0.084% であつたものが平均最大値として 0.049~0.054%，最小値として 0.23~0.31% 平均 0.035~0.042% の鋼塊を得たのである。脱硫は鹽基性平爐より轉爐の方が實行し易いことが明かである。0.03% の  $S$  が轉爐で除去せられてゐることになる。一般に  $S$  の含有量高いときは除去し易けれども  $S$  が 0.25~0.35% の場合は除去すること困難であると認められてゐるけれども高爐の外部での脱硫は興味ある問題として残されてゐる。

$H$  及び  $Co$  による鐵鑄石の還元は 8~14 メッシのものでは高壓ほど促進せられるといふ實驗がなされた。 $Co$  で還元する場合は  $C$  の鑄石中に沈澱する量は壓力が高くなればなる程早くなり鑄石を碎くことに依て一層容易になる。化學的見地から見るに壓力は容積に變化を及ぼさないので影響なしと思はれるけれども  $C$  の沈積の結果  $2CO = C + CO_2$  高壓のもとで容積の減少を來たしてゐる。この反應は壓力を増せば増すほど良い。試験せられた鑄石粉は比較的小さくして 1~2 mm のものであり、距離の半分以上の所で擴散が起つた事から見て前よりも高壓のときの還元の促進の割合は餘程驚くべきものであらう。最近壓力の増加は還元に良き影響を與へてゐる。高爐で高壓で仕事する場合最も疑問となる點は  $C$  の沈積がガスの分布と裝入物の抵抗にどんな影響があるかといふことである。 $C$  が鑄塊に沈積すると  $C$  は表面にも沈積しそれが底の空虚を満し、溫度がとくにこの反應に有效な所では壓力の増加を伴ふであらう。ガスが若し均一にして正常に裝入物を通して分布するならば、從來より高壓にすることによつて高爐操業の大切な因子である。残らず全部還元することを促進することにならう。しかし壓力の増加が有效なりや否やは經驗によつて決定せられるべき問題だ。高爐設計上の傾向は現今は 1,000 t である。

ビツブルグの鐵鋼技術協會で設計せられた新鑄銑機が 8 月オハイオのホイリング製鋼工場に設けられた。之は 2 基の平爐に役立てられるが 100 t の銑鐵を毎日 2,000 t 以上鑄銑する。鑄銑料は舊鑄銑機では 45 セントに拘らず之では當り 9~10 セントの範圍にある。修繕も今までしたことなくこの調子では暫く大丈夫であらう。しかし稍少しの屑鐵が出來て之は 1,457 t の銑鐵につき 4 t 位である。

熱風爐に小さな格子積を採用するやうになつてから、ガスの清淨は大切な問題となつて來た、數種の新清淨機が發達してゐる。濕式による新傾向は迴轉装置を施さないで据付式のものが有效な結果を得てゐる。熱風爐に不碎性煉瓦を高爐の温床には大型煉瓦を用ふるのが耐火物界の發展を幾分示してゐるやうである。熱風爐を熔接造りにした工場がある。スタインバハーハーの羽口は空氣が爐の中に 22.5° の側角か或は次の羽口の方向に這入てゐる。これは 2 年間の發達中裝入物の降下に妨げなく 1,600°F 以上の衝風溫度を保て仕事し得た。キイニー氏の研究の結果爐は羽口の位置に不活動の柱があることが一般に認められてゐる。裝入物の融合した柱が朝顔のあるレベルから爐の底部にまで及んでゐることを獨逸のストエカーハーが指摘した。ストエカーハーはムンドとアイレンダーと 500 t の高爐の朝顔及び

爐底の内部の状態の研究をした。多くのサンプルを非常羽口通常羽口、鑄滓口からとつた。その結果最も活潑な部分は羽口の少し上の部分にあつて朝顔壁と朝顔にある不活潑な柱との間に環を造つてゐる。スタインバハーハー式羽口を使用すると羽口の間に存在する比較的徐々に動いてゐるコーケスの柱を除き朝顔の活動性に富むだ環の部分に裝入物を動かしうるであらうとポイントンは指摘してゐる。裝入物の分布に關しては裝入鐘の降下速度が注意を惹いてゐる。これが爐の中心に於ける裝入物の大きさを左右する一因子である。大裝入鐘ホッパから裝入物を早く落すと爐の中心に小粒のものを減少さす傾向がある。裝入物の爐頂に於ける線を上に保ち大裝入鐘の間隙を造つて置くと中心に裝入物を多く集めるに役立つ。放射的分布を検べなくては質的方面や爐の操業を以外のこれらの變化の影響は決定することは困難である。ブルロジウス電氣アドガムは非常に利用せられてゐる。これは風壓を減ぜずに出銑出来るから裝入物には正常通りガスの透過があつて化學變化が起きるから出銑 t 敷を多くしなし得る。

(H. K.)

**精鍊鑄滓の S 含量と此れに對應する銑鐵の研究** (Paul Thierri, R. de M., Avril, 1938) 鋼と銑の脱硫の問題は Thomas 法の發見以來製鐵業者の夙に關心を持つ所となつた。然し此れは極めて難しい事であつて、一寸考へた丈でも鑄滓の鹽基度が 1.6 から 1.4 に、又は 1.4 から 1.2 に減少し、實に鑄滓重量が 1,000 kg から 800 kg に、800 kg から 600 kg に減少するにつれて銑中の  $S$  量が如何に變化するかを豫知する事は難しい。此の場合無數の未知な因子が思ひ浮ばれる。即ち鑄滓の熔融點の變化熔融に要する熱量、鑄滓の脱硫作用は如何なる程度に行はれるか等である。然し銑鐵の  $S$  含量に對しては 4 つの主なる要素が影響する。

(1) 鑄滓の鹽基度 (2) 鑄滓の重量 (3) 爐中に入れられた  $S$  の量 (4) 鑄滓の過熱

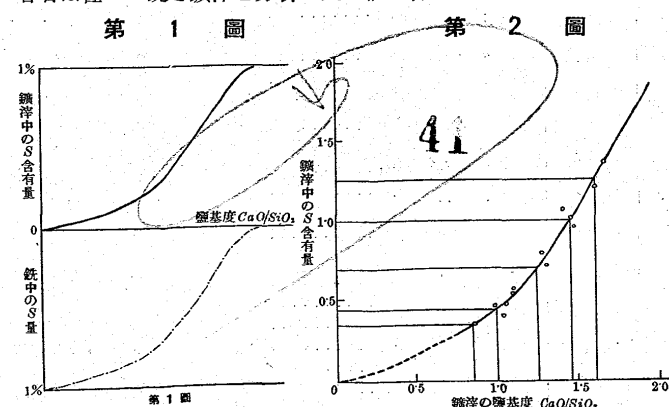
此處に於て鑄滓は過熱せられず且 Rankine の圖から與へられる生成溫度に於て用ひられるものとする。本研究はミネットを用ひて得た結果で、他の如何なる場合にも適用されるものではない。

(1) 鑄滓の鹽基度の影響——1 t の銑に對し 10 kg の  $S$  を與へ、且鑄滓が 1,000 kg なる如き熔浴を考へる。

$CaO/SiO_2$  の割合が零に近づけば即ち鑄滓中の  $CaO$  が悪くなれば鑄滓中の  $S$  も同様零に近づく。此れに反し鹽基度が増せば鑄滓中の  $S$  は最高 1% に達する。其の變化の有様は第 1 圖の如くである。以上の曲線の決定には次の範囲内に在る  $MgO$  や  $Al_2O_3$  は考慮に入れなかつた。

$MgO: 2.5\sim 5\%$      $Al_2O_3: 16\sim 24\%$

著者は種々の銑と鑄滓を分析し次の値を得た。



鑄滓中の S 量% 1.25 1.00 0.70 1.00 0.85  
 $CaO/SiO_2$  1.60 1.45 1.25 0.45 0.35

此れを圖に示せば第2圖の如くである。

(2) 鑄滓量の影響: 一 以上の考察より鑄滓中の S 量は或る鹽基度に於ては定まつて來るので鉄の脱硫は鑄滓量の函数である。第1表は Thomas 鉄に於て 715 kg の鑄滓及び 162 の鹽基度に於ける S が如何になつて居るかを示す。此等の S の由來は次の如くである。

第 1 表

番 號	鑄 滓							此の鑄滓に對應する鉄					
	$SiO_2$	$Al_2O_3$	$CaO$	$MgO$	$MnO$	$FeO$	S	$CaO/SiO_2$	Si	P	Mn	S	C
1	37.60	23.90	32.30	2.62	0.72	0.83	0.36	0.86	0.66	1.38	0.15	0.532	2.65
2	39.45	10.70	36.42	2.34	1.95	6.04	0.47	0.98	—	—	—	—	—
3	37.00	16.70	38.25	3.22	0.64	2.54	0.41	1.03	0.26	1.37	0.19	0.441	2.81
4	36.78	19.50	36.24	2.23	0.74	2.72	0.48	1.05	—	—	—	—	—
5	32.16	21.38	35.30	4.11	0.82	4.16	0.55	1.09	0.40	1.72	—	0.433	—
6	32.40	18.59	41.30	4.20	1.24	0.72	0.80	1.27	0.15	2.10	0.77	0.057	3.60
7	32.08	17.50	41.96	4.80	1.10	1.68	0.72	1.30	0.19	1.66	0.29	0.186	3.24
8	29.80	17.42	41.65	3.96	3.31	0.91	1.07	1.40	0.14	1.83	0.75	0.108	3.27
9	29.32	19.60	42.60	4.09	2.07	1.10	1.01	1.45	0.65	1.94	1.64	0.062	—
10	32.05	17.19	44.87	2.03	0.46	1.20	0.96	1.47	—	—	—	—	—
11	27.60	18.48	44.20	4.83	1.63	1.09	1.21	1.60	0.23	1.78	0.91	0.055	3.70
12	27.50	19.70	45.80	4.81	1.03	0.39	1.36	1.66	0.70	1.76	1.21	0.019	3.75

第 2 表

鑄滓量	硫 黃 量	$CaO/SiO_2 = 1.60$		$CaO/SiO_2 = 1.45$		$CaO/SiO_2 = 1.25$		$CaO/SiO_2 = 1.00$		$CaO/SiO_2 = 0.85$	
		%	重 量	%	重 量	%	重 量	%	重 量	%	重 量
500 kg	爐内へ入た量 塵 埃 鉄 銹 鑄 滓 合 計 其 他	0.319 1.25	10.77 0.11 0.444 1.000	10.77 0.11 4.44 5.00	10.77 0.594 5.94 0.700	10.77 9.55 9.55 1.22	10.77 9.55 9.55 1.22	10.77 9.55 9.55 1.22	10.77 9.55 9.55 1.22	10.77 9.55 9.55 1.22	10.77 9.55 9.55 1.22
			3.19 6.25	3.19 6.25	—	—	—	—	—	—	—
			9.55 1.22	9.55 1.22	—	—	—	—	—	—	—
			—	—	—	—	—	—	—	—	—
			—	—	—	—	—	—	—	—	—
			—	—	—	—	—	—	—	—	—
600 kg	爐内へ入た量 塵 埃 鉄 銹 鑄 滓 合 計 其 他	0.194 1.25	10.77 0.11 0.344 1.000	10.77 0.11 3.44 6.00	10.77 0.524 5.24 0.700	10.77 9.55 9.55 1.22	10.77 9.55 9.55 1.22	10.77 9.55 9.55 1.22	10.77 9.55 9.55 1.22	10.77 9.55 9.55 1.22	10.77 9.55 9.55 1.22
			1.94 7.50	1.94 7.50	—	—	—	—	—	—	—
			9.55 1.22	9.55 1.22	—	—	—	—	—	—	—
			—	—	—	—	—	—	—	—	—
			—	—	—	—	—	—	—	—	—
			—	—	—	—	—	—	—	—	—
700 kg	爐内へ入た量 塵 埃 鉄 銹 鑄 滓 合 計 其 他	0.069 1.25	10.77 0.11 0.244 1.000	10.77 0.11 2.44 7.00	10.77 0.454 4.54 0.700	10.77 9.55 9.55 1.22	10.77 9.55 9.55 1.22	10.77 9.55 9.55 1.22	10.77 9.55 9.55 1.22	10.77 9.55 9.55 1.22	10.77 9.55 9.55 1.22
			0.69 8.75	0.69 8.75	—	—	—	—	—	—	—
			9.55 1.22	9.55 1.22	—	—	—	—	—	—	—
			—	—	—	—	—	—	—	—	—
			—	—	—	—	—	—	—	—	—
			—	—	—	—	—	—	—	—	—
800 kg	爐内へ入た量 塵 埃 鉄 銹 鑄 滓 合 計 其 他	0.144 1.000	10.77 0.11 1.44 8.00	10.77 0.11 1.44 8.00	10.77 0.384 3.84 0.700	10.77 9.55 9.55 1.22	10.77 9.55 9.55 1.22	10.77 9.55 9.55 1.22	10.77 9.55 9.55 1.22	10.77 9.55 9.55 1.22	10.77 9.55 9.55 1.22
			1.44 8.00	1.44 8.00	—	—	—	—	—	—	—
			9.55 1.22	9.55 1.22	—	—	—	—	—	—	—
			—	—	—	—	—	—	—	—	—
			—	—	—	—	—	—	—	—	—
			—	—	—	—	—	—	—	—	—
900 kg	爐内へ入た量 塵 埃 鉄 銹 鑄 滓 合 計 其 他	0.044 1.000	10.77 0.11 0.44 9.00	10.77 0.11 0.44 9.00	10.77 0.314 3.14 0.700	10.77 9.55 9.55 1.22	10.77 9.55 9.55 1.22	10.77 9.55 9.55 1.22	10.77 9.55 9.55 1.22	10.77 9.55 9.55 1.22	10.77 9.55 9.55 1.22
			0.44 9.00	0.44 9.00	—	—	—	—	—	—	—
			9.55 1.22	9.55 1.22	—	—	—	—	—	—	—
			—	—	—	—	—	—	—	—	—
			—	—	—	—	—	—	—	—	—
			—	—	—	—	—	—	—	—	—
1,000 kg	爐内へ入た量 塵 埃 鉄 銹 鑄 滓 合 計 其 他	0.244 0.700	10.77 0.11 2.44 7.00	10.77 0.11 2.44 7.00	10.77 0.494 4.94 0.450	10.77 9.55 9.55 1.22	10.77 9.55 9.55 1.22	10.77 9.55 9.55 1.22	10.77 9.55 9.55 1.22	10.77 9.55 9.55 1.22	10.77 9.55 9.55 1.22
			2.44 7.00	2.44 7.00	—	—	—	—	—	—	—
			9.55 1.22	9.55 1.22	—	—	—	—	—	—	—
			—	—	—	—	—	—	—	—	—
			—	—	—	—	—	—	—	—	—
			—	—	—	—	—	—	—	—	—

a) 鑄石中の硫化鐵: 一 高爐の雰圍氣は酸化性ではないので S は全部鑄滓及び鉄中に入る。

b) 骨炭製造に用ひられた石炭より: 一 適當な注意をすれば此の S を相當減少させる事が出来る。

かくして爐中にいた S は次の如く分布する。

a) 鑄石の細片と共に塵埃中に b)  $FeS$  及び  $MnS$  の形で鉄中に c) 鑄滓中  $CaS$  の形に入る。

第2表には鑄滓の鹽基度と重量の函数として鉄中の S が計算されてゐる

此の表から 10.77 kg の S が爐内に入った場合

鑄滓 700 kg 鹽基度 1.60

鑄滓 900 kg 鹽基度 1.45

の時、鉄は充分に脱硫される。

著者は次いで爐内に入った S 量の影響及び過熱の影響を詳細に述べ次の結論を與へて居る。

脱硫には主なる 6 つの方法がある

1. 鑄滓の鹽基度を増す事: 一 然し

鹽基度を餘り増すと高爐の作業が圓滑に行かない。

2. 鎌滓重量の増加:—
3. 爐に入る S 量の減少:—コーカスをよく洗滌し鎌石の磁氣還續をなせば S 量を相當減少させ得る。
4. 鎌滓の過熱:—此れは鹽基性轉爐で處理する事の難しい所の Si を多く含んだ銑が出来る不便があるが英國の Al を含んだ鎌石に用ひて好結果が得られる。
5. Mn 鎌石の添加:—此の方法は最も費用を多く要し最も效力の少ないものである。Mn は脱酸剤では脱硫作用は二次的なものに過ぎない。
6.  $Na_2CO_3$  の使用:—熔銑中に  $Na_2CO_3$  を添加する事に依り種々の因子に關係するが大體 50~70% の S を除去出来る。此れは工業上實際に用ひられて居る。

經濟的に脱硫をなす爲に冶金學の最近の傾向は

- a) 高爐の操業を容易ならしめる爲に鎌滓の鹽基度を餘り高くせぬ様にする。
- b) 鎌滓の重量を減ずる。
- c) 爐に入れるコーカス、鎌石其他の S 量を出来る丈少くする。
- d) 銑鐵中の Si 量を出来る丈低くする爲に鎌滓を過熱せぬ事。
- e) 鹽基度の低い鎌滓に對しては極めて費用を要する Mn の添加を止める。
- f)  $Na_2CO_3$  を熔銑へ添加する。

上記の方法は獨逸に於ける貧鎌處理に實用されて居る。(S.O.)

#### 4) 鋼及び鍊鐵の製造

製鋼用大型高周波誘導電氣爐 (伊太利 Aosta に於ける 6t 及 8t 電氣爐) (Michael. Kauchtschischwili Stahl und Eisen 58 (1938) 520-523.) Cogne 製鋼會社は Turin から約 150km モンブランから 50km 隔た風光明媚な Aosta 峽谷にある。石炭は Thuile にある同社所有の炭鎌(高標 1,900m)から又鐵鎌石は Cogne 村から上方にある高標 2,700m の鎌山から供給せられてゐる。安價な電力は工業特に安價なエネルギーを要する冶金工業を可能ならしめた。就中 Aoesta 會社は總ての階程で電氣エネルギーを使用してゐる點で有名である。銑鐵は通常の高爐で製造する以外に更に電氣爐で製造せられ現在の高爐も全く電氣爐に變更せられる筈である。熔銑は電熱式混銑爐に移され轉爐にて精鍊せられる。鋼の大部分は是より電氣弧光爐に入れられ重複法によつて高級鋼とせられる。新設の高周波電氣爐工場は 8t, 6t, 800kg, 150kg の 4 基の電氣爐を有し 2 基宛に一組の發電機及蓄電器を有する。2 基の爐は交互に使用せられ、一方の操業に從事する間に他方は裝入又は坩堝の修理を行ひ常に休む間なく繼續して運轉せられる。

大型電氣爐は、傍にある電氣弧光爐から熔鋼の供給を受けるために 8t の容量をもつて居り又單獨に冷材裝入を處理する事も出来る。

此の 6t 及 8t の高周波電氣爐は現在世界に於て最大のものである。是等は能力に於ても又發電機に於ても世界最大であつて電動機側で 1,750kw 發電機側で 1,600kw である。兩者共に Ajax Northrap の特許により Siemens & Halske A.G で製造せられた。Siemens & Halske A.G では既に 5 至の同様の高周波爐を著名な會社に供給してゐる。

伊太利に於ては、上述の外に Breda 會社の 1,600kw 發電機による 6t 爐が製造せられてゐる。是等は明かに高周波電氣爐が大型に變化する方向を最もよく示すものである。

Cogne 會社の高周波誘導電氣爐は主として工具鋼、高速度鋼、不銹鋼及他の合金鋼の熔解に使用せられ、裝入材料としては屑鋼、押湯、旋盤屑等が使用せられる。坩堝は最初酸性材料で以て製造せられた。然し小型爐と同様鹽基性材料も使用出来る。高周波電氣爐操業がもたらす利益の内特に重要なものは、高級品の製造、迅速なる操業、負荷整御の容易、操業の緻密に行ひ得る事、又經濟的なる事等である。又、電氣爐の電極は不要であるから、同容量の弧光電氣爐に對し 60~70% の安價な耐火物と簡単な操業となるのみならず、高價な裝入物の節約及實際上の損失が殆んど皆無なために操業費用は理想的な値に一致する。次に坩堝 1 回分の操業結果が示される。

第 1 表 6t 高周波誘導電氣爐電力消費量

熔解回數	鋼の炭素量%	裝入量 kg	熔解時間 時 分	電力消費量			kW H/t
				熔解 kW H	沈静 kW H	總量 kW H	
1	1.03	5,000	8:30	4,100	500	4,600	920
2	0.50	5,000	3:50	3,400	400	3,800	760
3	1.00	5,000	3:45	3,400	400	3,800	760
4	0.70	5,500	3:45	3,000	500	3,500	640
5	1.00	5,000	4:00	3,300	400	3,700	740
6	0.70	5,500	3:10	3,300	100	3,400	620
此の間 34 行省略							
41	4.30	5,830	3:15	3,700	—	—	630
42	1.00	5,770	3:25	3,500	400	3,900	675
43	1.00	5,700	3:10	3,300	300	3,600	630
44	1.00	5,700	3:25	3,400	300	3,700	650
45	0.50	5,800	3:40	3,400	500	3,900	670
46	0.52	5,790	3:00	3,100	400	3,500	608
47	0.50	5,800	3:30	3,400	500	3,900	675
48	0.50	5,850	3:10	3,500	400	3,900	668
平均	—	5,622	3:36	—	—	—	670

第 2 表 8t 高周波誘導電氣爐電力消費量

熔解回數	鋼の炭素量%	裝入量 kg	熔解時間 時 分	電力消費量		kW H/t
				總量 kW H	kW H/t	
1	3.50	7,000	12:55	6,200	885	
2	1.00	6,533	5:15	5,000	765	
3	1.00	6,550	4:50	4,900	750	
4	1.00	6,500	4:40	4,700	720	
5	0.75	7,000	4:40	4,400	740	
6	0.50	7,000	5:50	5,100	730	
7	1.00	7,000	4:50	5,100	695	
此の間 36 行省略						
45	0.50	7,400	3:40	4,600	620	
46	1.00	7,200	3:50	4,700	650	
47	0.40	7,130	4:20	5,000	700	
48	1.00	7,200	4:25	5,100	710	
49	0.40	6,990	4:35	5,200	745	
50	1.00	8,040	5:05	5,800	720	
51	1.00	7,300	4:30	5,100	695	
52	0.50	7,200	4:30	5,100	705	
平均	—	7,205	4:37	—	679.5	

第 1 表は 6t 爐に於て 1927 年 12 月 26 日から 1928 年 1 月 6 日迄の操業結果を示す。此の間 48 回の熔解が行はれた。第 2 表は 8t 爐に於て 1937 年 11 月 25 日から、1937 年 12 月 4 日迄の操業を示し其の間坩堝は 52 回の熔解作業に堪えてゐる。是等は Ni, Cr, W, V. 等の色々の合金元素を含む鋼に就て行はれたものであるから炭素量は唯大體の熔解點を示すに過ぎない。6t 爐の第 1

表に熔解、沈静の兩方に要した電力が示されてゐる。6t 及 8t 爐に就て 1t に要する電力を比較するために計算せられたから第2表の電力消費量は熔解と精錬の兩方とに分けられなかつた。熔鋼 1t 當りの電力消費量の平均値の計算に際し兩者共に爐の加熱の行はれた最初の 2 回の電力消費量は計算に入れられなかつた。故に第1表の平均値は 48 回の平均でなくして 46 回の平均であり第2表は 52 回でなくして 50 回の平均が示されてゐる。6t 爐も 8t 爐も實際上電力消費量は殆んど等しく 6t 爐では  $670 \text{ kwh/t}$  であり 8t 爐では  $679.5 \text{ kwh/t}$  である。今平均熔解時間が 6t 爐では 3 時間 36 分であり 8t 爐では 4 時間 37 分である事に注意すれば結果は非常によく一致してゐる事が解る。8t 爐では熔解時間の延長にも拘らず電力消費量は殆んど増加してゐない。嚴密に云へば 1.5% だけ高い。即大型の爐では電力消費量は少い事になる。此の際大型電氣爐では負荷は増加するものと想像せられるが此の場合は兩方の爐が一つの發電機で交互に操業せられたのであるから負荷は兩者共に  $1,500 \text{ kw}$  である既に述べた如く 8t 爐では熔解時間が延長せられてゐるに拘らず電力消費量は兩者共に同様である。8t 爐に於ける電力消費量最低  $575 \text{ kwh/t}$  大略  $605 \text{ kwh/t}$  最高は最初の 2 回を除き  $745 \text{ kwh/t}$  である。

上述の數字は施設當初の結果を示すものであるから從業員の熟練操業の改良と共に最も適當な諸重要條件即、完全な裝入、爐蓋の改良及電磁氣的關係と爐の負荷とを支配する爐壁の厚さ等の條件の改良に伴て更に電力の節約が期待せられる。

同時に熔解時の負荷も増大せしめられる。8t 爐の熔解時間は 4.5 時間を要し是をより短縮せしめるためには負荷を増加せしめなければならない。通常の熔解經過に於て始めは  $1,500 \text{ kw}$  の負荷であるが、後次第に下て  $1,150 \sim 1,200 \text{ kw}$  で操業せられる。利用せられる部分は最高負荷容量の 75~80% である。此の如き操業状態では爐の容量は設備の改良に伴て  $2,000 \text{ kw}$  に擴大せられなければならない。 $2,000 \text{ kw}$  の發電機に對し電動機は  $2,300 \text{ kw}$  を要する。斯の如き發電機の構造は現在の状態では困難ではない。依て熔解時間が 4.5 時間から 3 時間に短縮せしめられれば 1 日の熔解回数は 4~5 回から 6~7 回に増加し、熔解量は  $35 \sim 40 \text{ t}$  から  $50 \sim 55 \text{ t}$  に増加せられる。更に高周波發電機の利用價値は 2 個又は多くの爐を並列に操業する事によって高められる。斯くする事に依て電氣爐負荷の總和は、發電機容量の 90~95% になる様に制御出来る。是等の設備は獨逸では 2 年以來實用の域に入り利用せられてゐる。以前から 4~2t 爐の並列作業の設備が出來て  $1,600 \text{ kw}$  發電機に連結せられてゐる。更に構造の改良、正確な操業及並列作業等に依て、高周波誘導電氣爐の利用及經濟價値は益々増加するであらう。

(矢島)

**鹽基性電氣爐鋼に於ける非金屬介在物の發生と除去法** (Buchholz F. K. u. Ziegler A. St. u. E. 58 (1938) 231/235) 鋼中の非金屬介在物は通常下記の 3 種類である。

1. 酸化鐵又は珪酸鹽非金屬介在物 (黒色又は灰色を呈す)
2. 硫化鐵又は硫化マンガン (鳩色を呈す)
3. 出鋼又は鑄型時に發生する非金屬介在物

次に述べる研究は主として (1) の非金屬介在物に就て實驗せられたものである。此等介在物は鋼材中最も多く出現し長さ  $0.5 \text{ mm}$  以上のものは肉眼的に明かに認め得るもので、鋼球用鋼の如きは全面に分散して存在することもある。電氣製鋼法に於て  $Fe$  及  $Mn$  の珪酸鹽は  $Mn$  及  $Si$  によつて最後に脱酸せられた場合發生したもののが充分分離出来ないで鋼塊中に殘留するものもあるが、同様の脱

酸作業の結果に於ても尙珪酸鹽の數や大きさが著しく異なる場合がある。是は非金屬介在物が脱酸作業前に既に存在してゐた事を示すものである。

本實驗は電氣爐變壓機交換の際に行はれた。此の際變壓機は爐體に近づけられたために、低壓側導體は  $18 \text{ m}$  から  $5 \text{ m}$  に縮められ其の結果として電極の電圧は  $10 \text{ V}$  上昇した。從て冶金條件が良くなり以前は螢石を多量に裝入した軟い滓を作つたが其の後滓の流れは良くなつて湯と反應し易くなつたために熔鋼の沸騰精錬が盛に行はれて、肉眼的の非金屬介在物は著しく減少した。

介在物の量を比較するために  $600 \text{ kg}$  鋼塊を  $45 \text{ mm}^2$  に壓延し 9~12 ケ所から試料を探取した。此の際非金屬介在物に次の様に點數を付けた。

長さ  $0.20 \sim 0.35 \text{ mm}$  のもの 3 點 長さ  $0.35 \sim 0.65 \text{ mm}$  のもの  
4 點 長さ  $0.65 \text{ mm}$  以上のもの 5 點

是等の點數の總和を試料の數で除して其の鋼の介在物の量を示す數とした。熔解作業は鋼滓を交換した後は同一の脱酸處理を行つたから實驗結果は酸化期に於ける沸騰精錬の影響のみを示してゐる。

沸騰精錬は介在物の量を減少せしめる。即ち沸騰によつて減少せる炭素量の多いもの程介在物の數は少い。又同じ炭素量の燃焼せる場合に於て、變壓機交換によつて電圧が高い場合は介在物の減少が著しい。以前の變壓機を用ひ低い電圧で操業した場合は約 2 倍の介在物が存在する。一例を擧げれば低壓で作業した場合は沸騰によつて失はれる炭素量が  $0.30 \sim 0.55\%$  の場合に介在物の量を減少せしめる事が出來たが、高い電圧を用ふれば  $0.0 \sim 0.25\%$  の炭素の燃焼によつて充分介在物を少くする事が出来る。此の理由は電圧が低いと電極は鋼滓の中に浸て、局部的に加熱せられるから沸騰は一部分に起り周囲まで行き互らない。其のために珪酸鹽が熔鋼の中に殘留する。是に反して電圧が高ければ鋼滓は長い弧光によつて熱せられ流動性が大になるから反應が盛に起り全面的に沸騰が起る。從て殘留する非金屬介在物は少くなる。即鋼の非金屬介在物の量には流れやすい鋼滓の下に於ける沸騰精錬は大なる影響を與へる。

更に精錬時間及精錬速度の影響が明かにせられた。實驗によれば毎時間の沸騰炭素量が  $0.06 \sim 0.12\%$  近は悪い結果を示し非金屬介在物の量が多いが  $0.20 \sim 0.27\% C/hr$  となれば良好な結果が得られる。

精錬の約 8t の裝入量に對し  $0.01\%$  の  $C$  を沸騰せしめるに要する鐵礦の量によつて示される。 $3 \sim 5 \text{ kg}$  の礦石量によつて  $0.40 \sim 0.50\%$  の炭素が沸騰せしめられるが電圧が低く鋼滓が固い場合には炭素の燃焼に長時間を要し、電圧が高い場合には  $55 \sim 65$  分で沸騰は平衡狀態に達して靜止する。電圧が低い以前の爐では沸騰炭素量は少く時間も  $30 \sim 45$  分で沸騰が停止する。從て非金屬介在物の量も著しく多い。即沸騰が停止した場合の最終の炭素量で熔鋼の純度を判斷する事が出来る。一方、炭素量が減少すれば其と平衡條件にある酸素量は増加する。依て、沸騰終期の炭素量と非金屬介在物の量との關係を示せば殘留炭素量が極端に少くなれば介在物の量も多い。殘留炭素量が  $0.17 \sim 0.22\%$  の場合は良好なる結果を示し  $0.25\%$  以上の場合には不良なる結果を示す。炭素量が  $0.25\%$  に減じたもの更に  $0.15\%$  に減少せしめると多量の礦石を要し、結果として珪酸鹽を多量に含有した。又  $0.43\%$  の炭素含有量を示し殆んど沸騰しなかつたものは同様に不良なる結果を示し珪酸鹽を多量に含有した。此の場合の非金屬介在物は鐵及  $Mn$  の珪酸鹽である。良好な精錬の行はれたものの非金屬介在物は  $FeO$  及  $MnO$  である。(矢島)

**平爐建設の理論的研究** (Luigi Bruno, R. de Mèt., Fév., Mars, 1938) 今日平爐を設計する場合、爐の各部分の計算は全く実験的なもので操業状態の良好な現存の爐に基礎を置いて居る。即ち、此の爐部分の或る割合を變へたり又は或る部分の大きさを其の儘採用して居る現状である。一般に、昔の平爐の建設には設計者の主觀が大きな位置を占め、其れ故に同じ能力を有する爐でも設計者によつて區々たる形をなして居る。近年平爐建設技術は急速な進歩を遂げ、其の或る因子は正確に決定され且一般に採用されて居る。計算の基礎とするには現在は未だ不充分ではあるが、主として燃焼技術と熱の傳導に要點を置いた理論的研究は、或る現象の進行を決定し且建設の向ふべき道を示すのに重要なのである。

爐の研究を理論的とする爲には、著者は爐の大きさには獨立な比を求めた。即ち先づ“常數”を定めた。或る爐に於ける此の常數が定まれば、此の常數の値は操業方法を等しくする他の爐にも適用し得る。かくして操業状態良好なる爐より得られた常數の値から出發して、平爐各部分の最良の特性を定め得るのである。

以下爐の各部の建設の爲に定められる公式は作業状態には獨立な部分と、これに依存する部分とがある。例へば爐の1時間の產額は固態銑鐵の代りに液體銑鐵を用ふれば變て来るであらうし、又發生爐ガスの代りに他のガスを用ひても變て来る。それで、各人各様の場合に僅か公式の一部分を變更する事によつて其の各々に適用され得る如くにした。

著者が研究したのは鹽基性平爐で、蒸發物質が30%，平均灰分が10%以下の石炭より製造した發生爐ガスを用ひた。此の發生爐は迴轉格子を備へ $1m^3$ に就いて $1,400\text{ cal}$ の熱量を持つガスを發生するものである。製鋼作業は屑鐵法で、銑鐵は12~30%を用ひた。

著者は先づ爐體の形の決定にあたり次の記號を定めた。

$$T=24 \text{ 時間に於ける爐の生産高 (t)} \quad S=\text{爐床面積 (m}^2)$$

$$H=\text{鋼浴の最大深度 (m)} \quad k \times h=\text{爐の平均の深さ (m)}$$

$$P=\text{爐の容量即ち金屬裝入全重量 (t)} \quad t=T/S=\text{爐床面 1m}^2$$

$$\text{に就ての 24 時間の生産 } p=P/S=\text{爐床 1m}^2 \text{ に就ての容量} \tau=\text{出鋼から次の出鋼までの時間} n=24/\tau=1 \text{ 日の出鋼回数}$$

$$V=\text{鋼浴の全容積 (m}^3) \quad C_1, C_2, C_3=\text{常數} \quad 1m^3 \text{ の熔鋼重量} =690t \quad 1m^3 \text{ の熔滓重量} =192t$$

裝入物 1t につき浴中に

$$\text{鋼} \quad 1,000kg=0.145m^3$$

$$\text{鎳滓} \quad 100kg=0.052m^3$$

$$\text{裝入物 1t に就いての浴の容積}$$

$$=0.197$$

以上の値から次の第1公式が導かれる。

$$V=0.197P: \quad V=S \times h \times k \quad \therefore 0.197P=S \cdot h \cdot k$$

$k$  は或る常數で爐の平均の深さを示す時に導入される。 $k=0.197 P/S \cdot h$  故に  $k$  は浴の實效容積と、浴が至る所深さ  $h$  であると考へた時の容積の割合である。故に  $k$  は爐床の形の函數である。 $k$  は爐の設計上極めて重要な意味を持つもので、その値は $1 \sim 1/3$  の間に存在する。實際には $0.88 \sim 0.41$  の間に存在する。然し此の限界に達する事は無い。現存する爐から、 $k=0.197 P/S \cdot h$  に依て  $k$  を直接計算出来る。此の  $k, h, S$  なる値から爐床の斷面を畫く事は困難であるが、實際には極めて簡単に、其れを著者は實例を以て示し、 $k$  の値が如何に重要であるかを説いて居る。

著者は次いで以上の數値の間に存在する關係とその計算法を述べ、爐の容量に應じてそれが如何に變化するかを表に掲げ、バーナー、

蓄熱室其他に就いて詳細な見解を述べて居る。

(S. O.)

**弧光製鋼爐に於ける炭素電極と黒鉛電極の比較研究** (Heimut Weitzer Stahl und Eisen 19 May 1938) 黒鉛極が比較的高價であるにも拘らず無定形炭素極と競爭出來るのはその物理的電氣的特性によるもので、現在兩方が提供採用されて居る狀態で、何れか一方に定めたい。又電極消費は弧光爐操作の費用として主要な部分ではないがこれを低減する事が望ましいのでオースタリー製鐵場電氣爐委員會では、炭素黒鉛兩極を使用し得る二三の弧光爐に兩者で操作して其の作業狀態を確めることにした。電極の消耗は直接に其の物理的性質に依り、製作も關係して來るが製作に就てはこゝでは省略する。物理的性質の概略を述べる。

從來の報告にもあつた如く、炭素極の比抵抗は黒鉛極のそれの3倍もありジユール損失が數倍になる。同時に酸化を始める溫度も炭素極は低いので炭素極は黒鉛極に比しづつと小さいアンペア負荷しか與へられぬ。許される電流密度は炭素極は黒鉛極の大體1/3位で炭素に對しては $4 \sim 10 A/cm^2$  位でこれに就いても報告があつた。溫度とオーム抵抗との關係は、黒鉛は最初抵抗は溫度の上昇と共に減少するが灼熱溫度に達すると再び増大しジユール損失を更に高め又溫度上昇を來たす。併し電氣傳導度は非常に高いから灼熱範圍に入る危険はない。併しこの事は爐天井外よりの放射熱損失を大ならしめる缺點がある。炭素極は抵抗が溫度の上昇とともに減じ從て溫度の高い内部は外縁より傳導度がよく爲に電流の表皮作用の反対作用を起してこれが無視出来る。兩電極共極全長に亘て灼熱する程過負荷されると電極材の高温に於ける燃焼により電極消耗が激増する。

裝入材量 6~7.5t の3爐に就いて變壓器負荷を 1,500~2,000kVA にして數週間以上に亘て行た試験の結果は大體次の如くであつた。

1. 電極消耗量は黒鉛極の殆ど2倍であつた。融解時の負荷は炭素極は $7 \sim 8 A/cm^2$  黒鉛極は $14 \sim 15 A/cm^2$  であつた。尙ブリキの外鉢を用ひると炭素極の消費は5%も減少し費用が高くても經濟的になる。

2. 電流消費は黒鉛極は常に炭素極より低く、2.15%, 1%, 1.2%の減少が見られた。3. 同様に熔融時間も大體黒鉛極の方が減てゐる。爐3では炭素極に對する $48.3 \text{ min/t}$  から直徑 300mm の黒鉛極に對して $46.2$  に減じたが、直徑 250mm の黒鉛極に對しては $48.5$  に増した。この結果は從來の報告と反対であるが經濟的には黒鉛極が有利とされてゐる。爐3では 55 が $54 \text{ min/t}$  に減じてゐる。

總括すると次の事が言へる。黒鉛極のオーム抵抗は炭素極の $1/4 \sim 1/5$  なる事、黒鉛極は熱に對して言ても寸法から言ても炭素極の2倍も強く負荷される事、電流密度に關してはたつぱり3倍も高く負荷される事、電極消費は半分に過ぎぬ事、僅かではあるが黒鉛極の場合は作業成績があがる事、爐裝置維持に有利なる事、更に黒鉛極は炭素極に比し加工し易く又軽くて扱ひ易い。併し此等の利點は黒鉛極の値段を埋め合はすに到てゐない。黒鉛極の値段は炭素極の3.6倍でその消耗量は半分なる事を考慮すると注意すべき損失がある。これは耐火裝置、電流裝置、仕事量の増加の方で埋め合はせなければならぬが中々出來ない。勿論此等の改善處置を講じて打勝つ事は試みられてゐる。

(增山)

## 5) 鐵及鋼の鑄造

**熔銑爐に就て** (Reese, J. Foundry, May 1938) 世の中に一

つとして同様な熔銑爐は無いと一般に言はれる。然し或る人は、あらゆる操業條件が同一ならば其の能力も等しかるべきだと言ふ。勿論各工場に於ては操業狀態が異なるから止むを得ないが、同一の工場に於て同一の條件の下に操業すれば同一の結果を得べきである。例へば或る工場に於て内徑 60" の 2 基の熔銑爐が交互に同一條件で操業され、1 は 1 時間に 28,000lb 他は 22,000lb の熔銑をなした。此の差の原因を探求して遂に後者の送風管に穴があつて風が漏れて居る事を知り此れを修繕する事に依り兩者共に 28,000lb の能力を持つに至た。かくの如く爐の受ける風量を異にするにつれて能力に變化を及ぼすのである。

熔銑爐に於て熔解率と言ふ如き漠然とした言葉を廢棄して燃料燃燒率なる言葉を用ひれば多くの不明瞭であつた點も明らかにされる。即ち充分に熱量を發生する爲に充分に燃料が消費される如き爐床面積が必要なのである。此れは第 1 表に與へられる。空氣量測定装置は熔銑爐から少し離れた所に据えつけられるのが例であるが、其の途中の管に漏れが無い事を検査して始めて第 2 表が意味を持つ事となる。20% 位の風量損失は普通よくある事であるが、此れは注意して防止せねばならない。第 2 表は 90°F, 14.7lb の壓力に於て正常な操業に要する空氣量である。熔銑爐は屢々此の値の上又は下でよく作業する事もあるから、それは各爐に就て見出さねばならぬ。普通量の空氣を受けて居る爐は約 16oz の壓力を示す。正常空氣量よりも 50% 高い量で操業する時、壓力は 36oz になる。第 3 表は爐壓と正常空氣供給量% の關係を示す。

熔解率は次の公式から導かれる。

$$\text{熔解率} = \text{燃料燃燒率} \times \text{燃料比} \times \frac{1}{4} \sqrt{\frac{P}{2,000}}$$

燃料燃燒率は第 1 表から與へられる。燃料比は 1lb の骸炭により熔かされる鐵の重量を lb で現はした量である。且つ P は第 4 表に示す如き風壓である。

48" 直徑の熔銑爐で 10:1 の燃料比、爐壓を 16oz とすれば熔解率 =  $1,800 \times 10 \times \frac{1}{4} \sqrt{\frac{16}{2,000}} = 9t/h$

燃料比が 8:1 で爐壓が 9oz の時

$$1,800 \times 8 \times \frac{1}{4} \sqrt{\frac{9}{2,000}} = 5.4t/h$$

72" の爐内徑で燃料比は 9:1 爐壓は 36oz とすれば

$$4,000 \times 9 \times \frac{1}{4} \sqrt{\frac{36}{2,000}} = 27t/h$$

第 4 表は各風壓に於ける  $\sqrt{\frac{P}{2,000}}$  の値を與へる。

第 5 表は種々の爐壓に對する爐床の高さを示す。

此の表を詳細に研究すれば、熔銑爐は極めて柔軟性に富み、且つ或る内徑に於ける熔解率は極めて廣い範圍で變化する事を知る。例へば 48" 爐で 8:1 の燃料比、9oz の風壓では 5.4t しが熔かさぬ燃料比を 6:1 にすれば猶低下する。普通の割合は 1 時間 9t で燃料比を高くし爐壓を 16oz 以上にすれば能力は更に大となる。

48" 熔銑爐の所要風量は 1 分間 4,000ft³ である。然し此れが 2,000 でも又は 6,000 でも操業出来る。即ち 50% の變動でも大した變りは無い。唯、爐の最も好適な風量を選ぶ事が大切である。(S. O.)

(第 1~5 表は追て掲載す)

鉄塊用鑄型 (Bacon, N. H. Iron & Steel Ind. May 1938)

鉄塊用鑄型の問題は極めて重大で此の壽命を少しでも増加すれば其の經濟的利益は莫大である。然し此の壽命に影響を與へる因子は無数であつて全體的に有益な結論を見出す事は難しい現状である。例へば鑄型に割れを生じたとすれば其の部分を厚くして壽命を増す事が出来るが、厚くした事に依て利と不利が相殺してしまふ。研究の結果 鑄型壁の厚み/鑄型重量 (cu ft) の値は 0.06 であつて、此れは

最小の消費量と廢棄の原因の 50% は割れに依ると言ふ事實によく一致する。

然し最小の鑄型壁の厚さはどの位であるかと言へば "鑄型の廢棄の原因の 50% が割れで 50% が鑄型面の劣化に依る如き厚み" とでも言ふより他は無い。若し鑄型廢棄の原因が面の劣化に依るとすれば材料が餘りに軟か過ぎるか又は鑄型壁が厚すぎるかである。此れに反し割れのみに依るとすれば設計が誤まつて居るか、壁が薄すぎるか又は材料が固過ぎるかである。

著者は鑄型の壽命を詳細に研究する爲に記録をとり、12ヶ月後に廢棄されるに至る鑄型を分析して Mn が最大の影響ある事を知た。

鑄型の分析値は Si 2.0%, S 0.05%, P 0.04%, Mn 0.70~0.90% であつて

	Mn 0.70~0.79%	0.80~0.89%	0.95~0.99%	1.00 又は其以上
鑄型	35 本	99	24	4
平均壽命	71	77	84	95

此れに力を得て Mn を 0.9~1.00% になして良好な成績を得た。平均壽命は 101.9 にまで上昇したのである。又 Si も大なる影響を與へる事を知た。

	Mn 0.80~0.89%	平均壽命	Mn 0.90~0.99%	平均壽命
Si < 1.7%	17 本	106.3	Si < 1.7%	44 本
1.7~18	7	89.1	1.7~18	29
18~19	8	87.5	1.8~1.9	27
			1.9~2.0	5

著者は更に鑄型の冷却、設計、材料等に就て論じて居る。

(S. O.)

鑄造工場に於ける種々の機械 (Frank J. Oliver, Iron Age, May 12, 1938) 鑄造工場に於ける大部分の問題は砂の取扱ひと其の調製に在る故に此に關する種々の機械が鑄造業者の最大關心事である事は言ふ迄も無い。其の爲に最近に至て極めて多數の機械が賣出されて居る。例へば砂混合機とか大型粉碎機、砂篩ひ、振動篩ひ等の新型に就て著者は紹介の勞をとつて居る。

最近輕量で取扱ひが簡易な爲に Dowmetal 會社は Mg 合金を此の方面に使用し出した。即ち Mg 合金は Al の 2/3, 鑄鐵の 1/4 の比重であるから職工の絶えず取扱ふ中子箱、模型等を製造するのに此の合金を推賞して居る。模型板として "Sonittep" なるものが發賣されたが、此れは抗張力 38,000~40,000 lbs/in² で加工性も良好である。表面は常に平滑で、此れを使用する事に依て鑄造工場の生産は容易化されたと言はれる。

鑄物の砂拂ひには 1,000 lbs/in² の壓力を以て混た砂を吹きつける Hydro-Blast 法が近年廣く用ひられるに至た。毎分 45~50 lbs の砂と 25~30 gal の水を發射する爲に 25 HP 以下の動力で充分である。

著者は實に Wet Dust Collector, Silica Dust 用マスク等に就て述べて居る。

(S. O.)

加壓ダイ鑄物 (Hans Lawetzky, The Metal Industry, April 1, 1938) 大量的に正確な鑄物を作るには、加壓ダイ鑄造が最も經濟的である。大量鑄造の爲に、永久鑄型法、重力ダイ鑄造法の改良が企てられたが、之等にはチル現象が早すぎ、ダイを完全に充さない缺點がある。この缺點を除く爲、熔融金屬をピストンで、加壓して鑄造する方法が、鉛、亜鉛、錫合金の如き低融點金屬に應用されてゐる。高融點金屬は、加壓室が熱に耐へないから、この方法ではいけない。

(1) ガス壓力による失敗、ガス壓力によると、Al では可能だが、加

6  
圧室は熱を受け、磨滅が大きくなる爲、加圧室材料は鋼しかない。所が鋼は熔融 Al に溶け、鑄物の性質が悪くなる。又微粒構造鑄物を作るに要する  $50 \text{ kg/cm}^2$  以上の圧力はガス圧縮機では、經濟的に出来ないことが分た。そこで再びピストン加圧法が研究された。ピストンと加圧室が熱の爲、磨滅の原因となるので、かゝる部分が熔融金属から隔離された。金属は加圧铸造機から離れた所で加熱され小取鍋で加圧室に移され、直にピストンでダイに壓入される。加圧室は割合低温に留り、又熔融金属は加圧室の壁と、空氣に冷却され凝固金属薄膜が出来て、ピストンのパッキングの役をして、磨滅を防ぐ。加圧室は割に低温だから、圧縮限度は、使用鋼の抗張力までは、どんな圧にも爲し得る。

(2) 作業圧力。亜鉛合金では  $430^\circ\text{C}$  以上、 $350 \text{ kg/cm}^2$  この加圧铸造の特長は、圧延した表面の腐蝕を防ぐ緻密な表面となることである又金属の重力による流動を利用するのでないから、半凝固金属にも應用できることは大きな特徴である。

(3) アルミニウム合金。 $200 \sim 350 \text{ kg/cm}^2$  の圧力がいい。

以前は空氣を含まぬダイ鑄物を作ることが困難で、從て熱處理が出来なかつた。然し高壓高温で熱處理可能のダイ鑄物が作り得るやうになつた。又铸造困難な Mg 合金は、最近、1回の鑄込に必要だけの金属を機械に入れ、残り大部分を中性氣に保つ爐が考へられ、この爐と、加圧铸造機はかゝる合金に大なる優越性を示した。

(4) 銅合金。加圧铸造が最も經濟的に出来るのは銅合金である。然し銅合金の熔融點が高い爲、流體で铸造すると、ダイ鋼の耐久度が小なる困難がある。之は半熔融状態で、高ピストン壓を用ひて解決できた。 $420 \sim 600 \text{ kg/cm}^2$  が多く使はれる、この鑄物は良質の鋼に相當する性質を有する。

(5) 砲金と鑄鐵に関する實驗。砲金は出来るが、ダイの磨耗大きく經濟的にできない。鑄鐵のダイ鑄物は米國、ロシアでやられたが經濟的には行かない。適當な良質ダイ材料が發見されないからである。現在は水壓铸造機が用ひられ、必要圧力は水力ポンプにより供給され、加圧铸造機に連結された空氣室に壓を傳へる。空氣壓は金属の射出結果を良くする彈性を持つ。然し高速铸造は出来ない。

(6) ダイの構造。ダイの設計は使用機械と、鑄物生産量による。ダイは空隙を有するダイ片と中子と射出機とからなつてゐる。ダイ材料は鋼で、铸造合金の熔融點が高い程、鑄物産量が多い程、上等の鋼を使ふ。亜鉛合金には低炭素鋼、Al 鑄物には、クロム・バナジウム鋼、真鍮鑄物にはクロム鋼がよい。

(7) ダイの冷却。焼入れしたダイは、磨滅に耐へしめ、熔融金属の粘りつくのを防ぐ。Al 合金铸造に殊に大切である。從て金属の熱により、焼鈍を受けず、又鑄物の凝固を速める爲に、ダイは水冷される。冷却場所とダイ空隙との間に、餘り烈しい變化をおこさぬ爲に、銅管が冷却溝に入れられる。複雑な鑄物や、微小氣泡も許さない物には、ダイに浅い切目を作て、空氣を逃す。

(8) 中子引抜。最も普通の装置は、ピニオンとラックにより中子を引抜くもので、ピニオンは手により、挺子により、又はカムと連桿により自動的に動かされる。中子の設計は難しい。早く抜けるやうに、又窪みがない様に作らねばならない。

(9) 應用と將來性。ダイ铸造は未だ幼稚で、今日では  $1,000 \sim 1,050^\circ\text{C}$  以下の熔融點の金属には可能だが、之以上のものにはダイ材料が研究されねばならぬ。又大量生産する物でなければ、經濟的に困難である。現在主に使用されるのは、自動車及その附屬品、家具、電氣器具、精密機械、光學機械、ラヂオ、電話、寫眞機、建築

材料等である。

(S. O.)

## 6) 鐵及び鋼の加工

**クロムモリブデン鋼の熔接性** (Schweissrissigkeit) (Bardenhener P. Bottenberg W. Arch. Eisenhüttenwes. Feb. 1938, S. 375) Schweissrissigkeit は Schweissemmpfindlichkeit とも稱され、熔接部附近又は稀に繼手自身の中にクラックの生ずる現象である。

實驗の方法：—從来本問題には相當多數の研究が見受けられるが、それは材料の種類又は熔接施行法と熔接性との關係に就てであつた。製造條件の影響に關しては極少數の報告しかないのでこの方面に就てやゝ詳しく述べ實驗を行つた。先づ鋼の化學組成熔解方法の熔接性に及ぼす影響を驗せんために各々  $200 \text{ kg}$  の鋼塊を種々の條件下で作つた。鹽基性法ではアーケ炉にマグネシアで裏付けて酸性法では無心誘導電氣爐にファルツ州の粘結砂を裏付けして熔解した。 $45 \text{ kg}$  の容量の金型に铸造した。化學成分は  $0.23\%$  以上 C, 約  $0.3\%$  Si,  $0.5 \sim 0.7\%$  Mn,  $0.95\%$  以上 Cr, 約  $0.2\%$  Mo で抗張力を増すと同時クラックの生ずる危険のある元素は出来るだけこれを高めた。鋼塊は  $4 \text{ mm}$  厚さ  $600 \times 2,300 \text{ mm}^2$  に熱間圧延される。 $850^\circ\text{C}$  烧鈍後縱方向に試片をとり中間加熱しながら  $1 \text{ mm}$  まで冷間圧延を行ふ。更に  $1/2 \text{ h}$   $650^\circ\text{C}$  に加熱し靜氣中で冷却する。熔接性の試験は各々一端を固定した幅  $50 \text{ mm}$  長さ  $70 \text{ mm}$  の 2 枚の板を純アセチレン、酸素ガスで熔接して行つた。熔接部には  $18\%$  Ni を含む熔接棒を用ひた。熔接部の盛り金は約  $1 \text{ g}$  であつた。又この熔接は同一人によつて行はれた。試験後表面に生じたクラック又は繼手の破壊面に表れたクラックを驗する。熔接部全面に對するクラック部分の面積の % で熔接性の良否を示す。

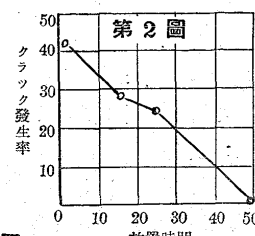
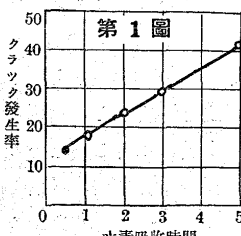
熔解法、化學組成加工熱處理の熔接性に及ぼす影響：—熔解方法は熔接性に甚しく影響す。比較的低温で操業され實際的には沸騰しなかつたものは熔接性が悪い。C.P.S. を増加すると尙惡くなる。之と反対に比較長時間沸騰されたものは熔接性良好である。これでも P.S. の特に多いものは結果不良であつた。又 C は P.S. が比較的多い時は惡結果を残さぬが P.S. 少い時は熔接性は悪くならぬ。冷間加工したもの、焼鈍したもの、調質したもの、等何れも熔接性に餘り差異はない。

熔接クラックの原因：—先づ第一にクラックの發生する溫度を知らなければならぬ。これに就て解説を得るためクラックの生ずることが豫め分てる材料の熔接片に熱電對を密着させて熔接を行ふ。熱電對の線の太さは  $0.1 \text{ mm}$  であるから尖端の占める面積は極めて僅かである。熱分析の結果冷却曲線上にクラックが生じ夫々  $724 \sim 662^\circ$  であつた。

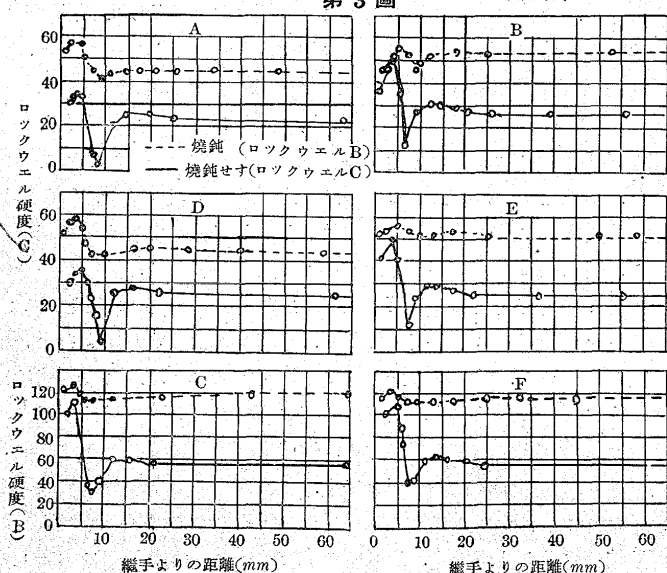
熔接の際には部分的に熱を受け次いで冷却されるから、それに對應した組織變化が相當大きな範囲に生ずる。熔融箇所と低温の場所との間にその部分の到達溫度に從てペーライドとマルテンサイトが層状に表れるがマルテンサイトとペーライドの容積の差でクラックが生ずる。

然し以上の結論では何故或る材料にのみクラックが生じ他の材料に生じないかの理由を説明する事が出來ない。P. Bardenhauer によれば鋼中の水素は材料を破壊し得る程度の張力を與へるとのことであるから、熔接の際材料によつて水素吸收量が異り、その結果或ひはクラックが生じ或ひは生じなかつたりするのではないかと思はれる。クラックの生じた繼手と然らざるものとの水素量を測定して見る

と前者は、熔接のために増加した水素量が多い。即ちクラックなしの継手で約  $1.46 \text{ cm}^3/100\text{g}$  に對しクラック入りの継手は  $2.10 \text{ cm}^3/100\text{g}$  の増加水素量を示してゐる。又材料を陰極にして水素を一定時間吸収させて時間とクラック発生率を示すと第1圖の如くなる。この材料を放置しておいて放置時間とクラック発生率を示すと第2圖のやうである。



第3圖



以上の実験によれば熔接時のクラック発生に對して水素は著しい影響をもつことが明となつた。水素吸收の機會は熔接時に常に存在する。水素の溶解度は温度の上昇と共に急速に増加するから熔接時の水素吸收は相當著しい。又鋼が冷却すると溶解度が減じて水素は逃出す。この種の水素は何等の悪害を残さない。然しながら鋼中の結晶界域に隙間が存在したり或ひは非金属化合物が存在したりするとかゝる場所に分子水素が形成され、原子状水素と異て常温になつても鐵より離れない。其他水素は又非金属化合物と水素化合物を作りこれは水素分子と同様の作用をなす。狭い間隙空處ではこれらの氣體が集まつて遂に材料を破壊出来る程の壓力にも達する。結晶粒界は材料の破壊に對し大きな役割を演じる、即ち大結晶粒界は微細結晶粒界より破壊を引きおこし易い。然るに鋼が純粹であればある程化素は鋼中に浸入しがたく從て破壊し難い。

顯微鏡組織結晶粒の成長力及び熔接性間の關係：— 約  $4\text{ mm}$  厚さの板を McQuaid-Ehn の方法で 8 時間  $927^\circ\text{C}$  で滲炭した。Al を加へなかつた材料の間ではその顯微鏡組織と熔接性の間には注意すべき程の現象はなかつたが、それでも熔接性良好でクラックの生じなかつた試料では明な網状セメントタイトが表れてゐた。然もこれらは屈曲試験も良好であつた。Al で脱酸された試料では網状セメントタイト組織の上部に著しく微細な組織が存在してゐる。

又熔接性と過熱され易い性質との間には關係があるやうに思れる。衆知の如く過熱敏度は Al によつて著しく減じられる。又 Al を添加熔解した試料では大體熔接性良好であつたが單に Al を加へ

たからといつて熔接性が必らず良好になると断言出来ない。

熔接性の良好なる試料と不良の試料を  $850\sim1,300^\circ\text{C}$  間で  $1/4\text{ h}$  热した。 $1,050^\circ\text{C}$  までは結晶粒子の成長は僅であつたがそれより高い温度では可なり相違があつた。Al を添加した材料の中で  $0.1\%$  Al のものは  $1,300^\circ\text{C}$  で非常に大きな結晶粒を示してゐた。又同じ  $0.04\%$  Al のものでも相當異な粒子の成長を示した。

熔接試験片の硬度分布：— 熔接硬化 (Schweisshärte) 継手の附近に硬い脆い層が出来る現象で、機械仕上を困難ならしめる。今熔接試験片を冷間加工又は焼鈍しその硬度分布を調査して見ると、何れの試験片に於ても熔接部分より  $2.5\sim5\text{ mm}$  の距離の部分が最も硬い。加工されたものは最高硬度の部分に引續いて最軟部が存在す。更に離れると原材固有の硬度に近づく。焼鈍されたものは大體傾向は似てゐるが場所による硬度差は小で、大體平均してゐる。一例を示すと第3圖の如くなる。

熔接硬化は鋼の化學組成特に C, Cr, Mo 量に關係す。P.S. Al の影響は認められなかつた。又クラックは最高硬度部分に生じ易い。鋼の化學組成に基いてマルテンサイトになる傾向が大なる程熔接部分の硬度は大である。例へば  $0.25\%C$  でロックウェル C 35,  $0.41\%C$  で 50 を示した。(I)

## 7) 鐵及鋼の性質並に物理冶金

冷間加工による耐熱クロムモリブデン及びニッケルクロムモリブデン鋼の性質變化 (Greulich, E. Zschokke, H. Arch. Eisenhüttenwes. Feb. 1938, S. 401) これらの鋼で作られてゐる機械部分品は冷間加工を受けてゐる。而してこれらの鋼は熱間加工せられた後空中放冷されると焼きが入るから冷間加工を施すために焼鈍する必要がある。然も熱間加工を施された Cr, Mo 鋼及び Ni-Cr, Mo 鋼に於ては冷間加工を施すために充分軟化する溫度は非常に狭い範囲に限られてゐる。冷間加工の回数を重ねるに従ひその機械的強度は著しく低下し、軟化のための加熱溫度範囲も廣くなる。他の鋼にも見られるやうにかゝる現象の原因は層状ペーライが粒状セメントタイトに變化するためである。

上の事實を具體的に示すと高溫壓延後空中放冷のものは焼きが入るが、これを軟化するための適當な加熱溫度は  $700\sim750^\circ\text{C}$  である。空中放冷のもので  $133\text{ kg/mm}^2$  烧鈍されると急に減少して  $82\sim84\text{ kg/mm}^2$  となる。この溫度が  $750^\circ\text{C}$  を越すと空中放冷されると再び焼きが入て  $155\sim180\text{ kg/mm}^2$  となる。第1回の冷間加工度を 36% とすると軟化溫度範囲は廣がり機械的強度もやゝ減じる。第4回目の冷間加工即ち全體で 68% 加工度のもので  $590\sim750^\circ\text{C}$  の軟化溫度範囲をもつ。又屈曲試験によれば  $50^\circ\text{C}$  から  $160^\circ\text{C}$  に増加した。又加熱の際強度の減少は極く僅少の溫度範囲 ( $570\sim590^\circ\text{C}$ ) で起つ。降伏點も冷間加工度及燒鈍溫度の變化に從て抗張力と同様の變化をする。伸は冷間加工、中間加熱の回数が増すと共に其の最高値は低溫度へ移行する。例へば高溫壓延後  $710^\circ\text{C}$  で焼鈍したものは 12% 伸、1 回冷間壓延後  $680^\circ\text{C}$  烧鈍で 13.5%，4 回壓延  $610^\circ\text{C}$  烧鈍で 28% であつた。

冷間加工がクリープ値に及ぼす影響は甚だ重要な問題である。この試験に使用した鋼の化學成分を示すと

鋼番號	C	Si	Mn	P	S	Ni	Cr	Mo
3	0.12	0.19	0.45	0.016	0.007	1.42	0.81	1.02
4	0.12	0.29	0.41	0.011	0.010	1.49	0.72	0.80

その機械的性質を示すと

處 理	降伏點		抗張力		伸% ( $l=10d$ )	
	鋼 3	鋼 4	鋼 3	鋼 4	鋼 3	鋼 4
熱間圧延、調質	64.5	59.8	74.4	69.5	18.3	11.8
5回冷間加工、その都度焼鈍	46.1	44.0	59.3	53.2	17.2	20.9
最後に軽く圧延す	40.8	45.0	58.3	57.2	21.0	20.2
5回冷間加工、その都度焼鈍	60.4	47.4	68.5	57.0	16.2	14.0
最後に調質後軽く圧延	66.0		70.2		11.9	

鋼 3 は 4 に比べるとクリープ値は冷間加工によつてやや減少が大である。然し最後の調質によつて再び上昇する。2種の鋼の性質の差は熱間圧延後調質されたものが最大である。表に示す如く熱間圧延後調質のものが最大のクリープ値を示してゐる。又この状態では層状バーライトの組織を示す、冷間加工を受けると  $500^{\circ}\text{C}$  で  $18 \sim 19 \text{ kg/mm}^2$  となる。この組織は粒状セメンタイトを示す。

溫 度	降伏點		クリープ値		衝撃 値	
	kg/mm <sup>2</sup>	kg/mm <sup>2</sup>	kg/mm <sup>2</sup>	kg/mm <sup>2</sup>	mkg/cm <sup>2</sup>	mkg/cm <sup>2</sup>
熱間圧延後調質						
400	46.2	44.9	46.0	44.0	12.7	12.8
450	45.1	41.0	43.0	38.0	—	—
500	42.2	36.9	32.0	24.0	13.3	11.6
550	39.8	34.4	15.0	11.0	12.7	10.9
5回冷間圧延その都度焼鈍 2時間 $660^{\circ}\text{C}$ 加熱						
400	30.7	37.2	30.0	39.0	18.0	—
450	27.5	35.0	24.0	28.0	17.5	—
500	27.0	31.9	18.0	19.0	14.9	—
550	19.5	23.6	5.0	5.0	16.8	—
5回冷間圧延その都度焼鈍最後に調質						
400	43.0	42.8	41.0	42.0	14.9	12.7
450	41.2	37.8	32.0	34.0	15.7	12.8
500	35.8	34.7	22.0	18.0	12.7	11.7
550	31.4	31.4	8.0	7.0	13.1	11.3
					20.4	14.7
					18.4	14.3

上表により明かなる如く  $400^{\circ}\text{C}$  まで抗張力と降伏點は大體一致する。即ち  $400^{\circ}\text{C}$  まではクリープ現象は尙甚だ微弱である。又クリープを示し初める温度は  $400^{\circ}\text{C}$  より僅か高溫の所に存在するに相違ない。(茨木)

硝酸アムモニウム溶液中に於ける軟鐵の結晶粒間腐蝕 (Smiatowski, M. Warschan. Korrosion und Metallschutz, März April, 1938) 軟鐵に静力学的張力とかアルカリ及アルカリ土金属の硝酸鹽の熱溶液を作用せしめる際の共通現象として種々の結晶粒間腐蝕間隙が認められる。この爲に比較的短時間で金屬材料は破壊する。Bosch はこの事に關する一つの暗示を與へており、硝酸アムモニウム溶液が鋼に對して強く作用するといふ事は已に以前から知られてゐる事である。熱硝酸アムモニウム溶液中に於ける鋼の腐蝕の結晶粒間現象に就いては就中 Tamman の報告が著名である。Jones は歪力を生じてゐる焰鐵に對する硝酸鹽の作用を試験するため種々の實驗を行た。然し彼は硝酸鹽の影響の下に破壊を生ずる臨界歪力の相對的數値に就いての説明も又龜裂生成の速度に對する鋼中の不純物の影響に就いての説明も與へてゐない。

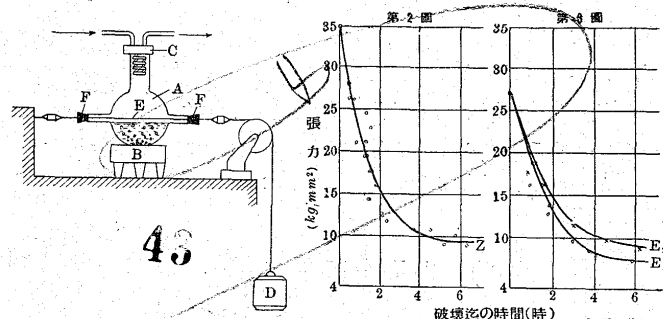
實際問題として硝石製造に於て已に數年前から次の事が分つた。硝酸アムモニウムの蒸發装置の個所に用ひた數個の鐵具 (0.16

% C 0.31% Mn 0.078% P 0.096% S 痕跡 Si Cr Cu) に明瞭な龜裂が主に強い歪力或は變形を受けた部分殊に螺子孔の附近に集て現はれてゐた。この龜裂は結晶粒間に走つた。

第 1 表

線條 種類 名稱	含 有 物								
	C	Mn	Si	P	S	Cr	Ni	Al	Cu
軟鐵 (直徑 1.2 mm)	0.080	0.29	0.002	0.010	0.020	0.02	—	—	0.12
電解鐵 (直徑 1.0 及 2.0 mm)	0.005	0.08	0.005	0.006	0.035	0.08	0.03	0.01	0.05

本實驗では第 1 表に與へられた組成を有する引張歪力を加へた Z 及電解鐵 E で出來た線條に對する加熱 50% 硝酸アムモニウム溶液の影響に就いて研究した。その裝置は第 1 圖に示す通りである。

Z (第 2 圖) 軟鐵製の線條  
(直徑 1.2 mm)E<sub>1</sub> (第 3 圖) 電解鐵製の線條  
(直徑 1.0 mm)  
E<sub>2</sub> (直徑 2.0 mm)

第 2 表

試験線條の機械的性質

線條の名稱	室 溫 に て		100°C にて	
	最高強さ kg/mm <sup>2</sup>	降伏點 kg/mm <sup>2</sup>	最高強さ kg/mm <sup>2</sup>	伸 張 率 %
Z	36.9	24.8	34.8	約 43
E	30.0	17.0	約 27	約 33

直徑 1~2mm の燒鈍せる線條を用ひ、その降伏點最高強さ及伸張率は第 2 表に示す通りである。試料 E 及 Z は表面の状態が少し異てゐた。軟鐵 Z は滑らかで光澤があるが帶褐色であり電解鐵は小さな鋸びの斑點をもつ滑らかな光澤のある表面を有てゐた。目の細い研磨紙でよく磨かれた試料は硝酸アムモニヤ溶液中では腐蝕速度に關して研磨しないものと變りはなかつた。實驗方法としては以下の如く行た。長さ約 30cm の試料を  $15 \sim 20 \text{ kg/mm}^2$  で引張りながら大形バーナーの焰で約 30 秒間熱した。變形しない様にして栓の間に通し一方を固定した。溶液を沸騰する迄加熱してから荷重をかけ同時に時計を読み始めた。線條が破壊する迄に經過した時間と荷重との關係を第 2 圖及第 3 圖に示した。硝酸アムモニウム溶液の作用が既に半時間にして試料の破壊を生ぜしめてゐる事が分る。線條が破壊する迄に要する時間が急に増加し始める引張歪力は試料 Z に對しては約  $9.5 \text{ kg/mm}^2$ ,  $100^{\circ}\text{C}$  に於ける最大強さの 27% に相當する。試料 E<sub>1</sub> に對しては約  $7 \text{ kg/mm}^2$ ,  $100^{\circ}\text{C}$  に於ける最大強さの 26% に相當する。試料 E<sub>2</sub> に對しては約  $9 \text{ kg/mm}^2$ ,  $100^{\circ}\text{C}$  に於ける最大強さの 33% に相當する。E<sub>2</sub> が E<sub>1</sub> より大なる抵抗力を有する事は試料の断面積と周囲との關係から説明が付く。腐蝕實驗の後その内部に個々別々に非常に深く浸入した多數の龜裂を示してゐた。この龜裂は試料を曲げると殊に明瞭にあらはれた。試料

の縦断面を研磨して調べた結果亀裂は結晶粒の境界に沿て走る事事が分た、尙線條の中央の部分が最も溶液の作用をうけ且高溫にあるにも拘らず最も大きな亀裂は容器の兩側の管内に在る部分に現はれたといふ事は注目に値する。壓延後焼鈍されなかつたり容器に挿入される際に曲たりした試料は非常に短時間で破壊した。例へば  $4\text{kg}/\text{mm}^2$  迄しか荷重されなかつた試料でも破壊が既に 2 時間後に起た。硝酸アムモニウム溶液の腐蝕による試料の總重量の減少は非常に僅少である。例へば試料 Z では約  $10\text{kg}/\text{mm}^2$  の荷重をかけ破壊迄の 4 時間の間に僅か  $0.04\text{gr}$  の Fe が溶液及沈澱中に移たに過ぎない事が分析によつて判た。線條の表面が均等に侵されたとしてもその直徑は約  $0.01\text{mm}$  だけしか減じないであらう。他の條件は前と同様で沸騰水に濡らされた試料は降伏點以上の荷重をかけて 12 時間経過しても破壊しなかつた。

上に述べた臨界歪力は何等固有の數値を示してゐない様である。之は種々の二次的因子に關係するものである。以上の實驗結果に基いて硝酸アムモニウム溶液によつて作用される軟鐵に對しては明らかに降伏點以下の歪力でも危険である事が一層明瞭に結論出来るのである。(S. O.)

## 8) 非鐵金屬及び合金

*Al-Mg 合金の再結晶に就て* (Von Walter Burgardt und Franz Bollenrath in Berlin, Zeitschrift für Metallkunde, Januar 1938) 純 Al (99.5%) 及 Al 合金—就中 Al-Cu 基の析出硬化可能な Al 可鍛合金—の再結晶圖及種々なる熱處理、最初の結晶粒の大きさと再結晶との關係に就いては廣く實際的にも又理論的にも研究されたのであるが Mg の添加が、純 Al の再結晶に及ぼす影響に就いては今迄に何等報告がない。高い Mg 含量を有する硬い耐蝕性 Al 可鍛合金の大きな實際的意義を顧慮して此の合金に對する粒の大きさ加工度及焼鈍溫度の間の研究が望まれてゐる様であつた。そこで Mg 含量 7 及 9% の 2 種の Al-Mg 合金に就て行た實驗に於て以下に述べる如き再結晶圖を確立した。試験片としては直徑  $20\text{mm}$  の丸棒の形に壓延した Al-Mg 合金を用ひた。その化學組成は第 1 表に示す通りである。顯微鏡検査の結果棒の中心部と周邊部との間に粒の大きさ及不均一性に於て相違があつた。初めの組織を均一にする爲に試験片の丸棒を約 25% 低温加工して  $75\text{mm}$  の厚さに迄平たくし、4 時間  $410^\circ\text{C}$  で焼鈍して靜な空氣中で冷却した。之によつて合金は可成均一な小粒組織を得るに至た。尚粒境界を明確に現はさんが爲に  $115^\circ\text{C}$  で 50 時間焼戻を行た。過飽和固溶體から  $\beta$  相の析出はこの場合就中粒境界の所でよく行はれた。

第 1 表

番 名 稱	化學組成 %							
	Mg	Si	Fe	Mn	Zn	Ti	Cu	Al
ハイドロナ 1 リウム 7 (Hy 7)	6.52	0.12	0.33	0.27	—	0.010	0.030	残り
ハイドロ 2 リウム 9 (Hy 9)	8.69	0.11	0.31	0.28	—	0.010	痕跡	残り

再結晶圖を確立せんが爲に以上述べた方法で豫め處理した合金を  $1/10$  の厚さに迄低温加工し次に焼鈍した。合金 1 (Hy 7) では加工度 0.3 6 10 30 50 75 及 90% のものを、一方合金 2 (Hy 9) では加工度 50% 迄のものを選んだ。すべての試験片は 200 250 300 400 500 及  $550^\circ\text{C}$  で溫度調節自由な圓筒型電爐で加熱した。粒大

の決定はチンマー法に依た。この方法に依るときは次の關係により平均粒大  $\varphi$  が計算出来る。

$$\varphi = K \cdot 10^6 / (cn + Z) \cdot V^2 \mu^2$$

K 研磨面に畫かれた圓の面積

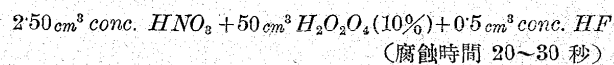
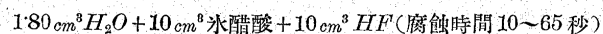
Z 圓内に完全に含まれた粒の數

n 圓筒で截られた粒の數

V 顯微鏡の倍率

C 或る常数、Jeffries に依れば 0.6 と採られてゐる。

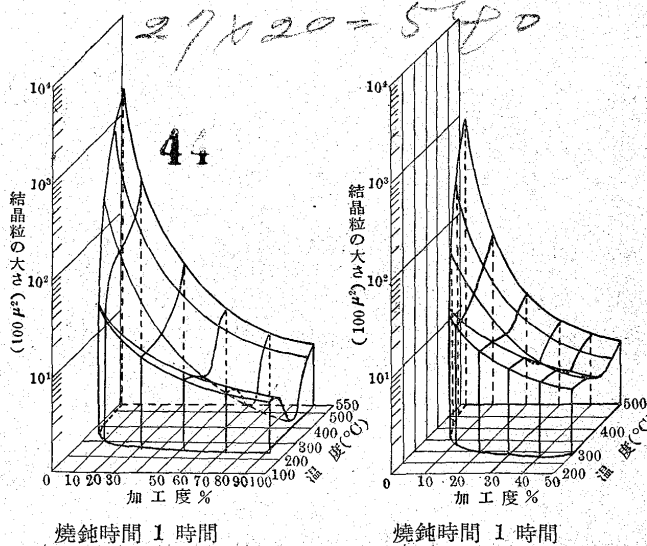
特に加工度の比較的高いものでは粒境界の發達の爲以下の如き腐蝕液を用ひても屢々困難を生じた。



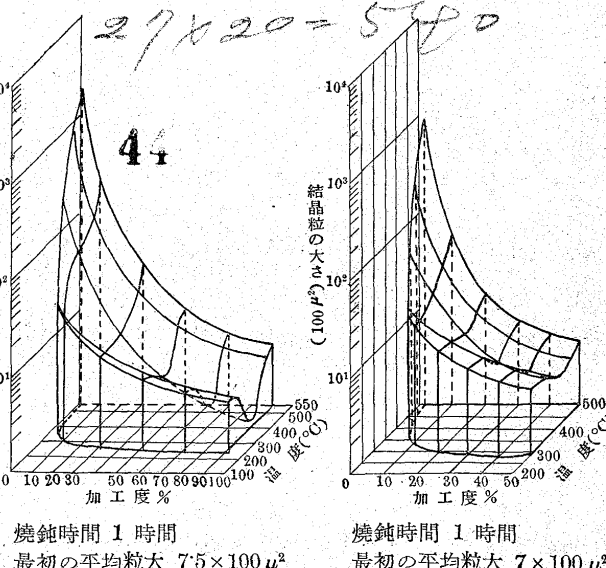
粒境界をよく發達せしめるために加熱して再結晶を行はしめた試験片を更に  $115^\circ\text{C}$  で比較的長時間焼戻した。

實驗結果は第 1 圖、第 2 圖に概略的に示されてゐる。加工度に關係ある再結晶開始溫度の決定は顯微鏡的方法では勿論不可能であつてラウエ寫眞の助を借りて始めてなされた。こゝでは以下の如き方法に依た。種々なる加工度をもつて低溫加工を施した試験片を、溫度を上昇せしめつゝ焼鈍し、新たに結晶粒が生じた爲に起る最初の反射の出現をラウエ寫眞に於て觀察しこの點を以て再結晶開始溫度とする。斯くの如き方法で再結晶圖を詳細に求めたのであるが、加工

第 1 圖 合金 1 の再結晶圖



第 2 圖 合金 2 の再結晶圖



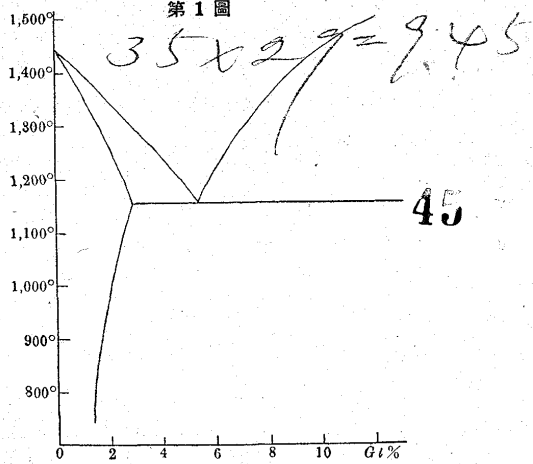
度の比較的高い場合には粒の大きさい溫度の上昇と共に最小點を通過するといふ現象を除いては兩合金の再結晶圖は一般に認められてゐる再結晶の通則に一致する。R. Hobrock に依て Al-Cu 合金に於ても觀察されたこの現象は尙説明を要する。兩再結晶圖を比較すると Mg 含量の大きい方の合金では再結晶開始溫度が約  $30^\circ\text{C}$  だけ高くなつてゐる。兩合金中の Mg 含量は新たに生ずる結晶粒の大きさには無關係である。強く加工して加熱した試験片では粒の大きさが均一であつた。加工度 6% のものに就いて焼鈍溫度を高くした場合には大きな結晶片によつて食ひ盡された多くの小結晶粒は大きな結晶片の境界面の所に特殊な状態で現はれてゐる。それは再結晶にならない臨界加工度以下の範圍にある様な加工度の小なるものでは全體に亘て變形が行はれてゐないからであると考へられる。

(S. O.)

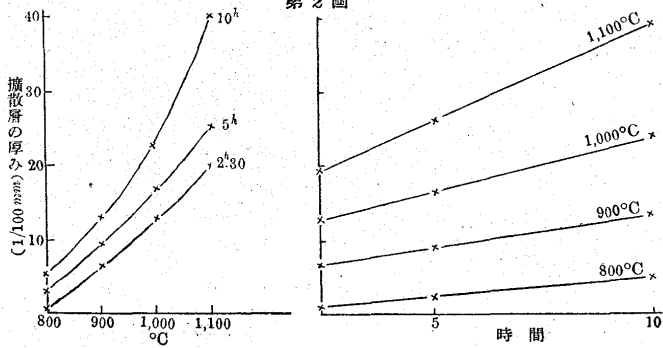
**Ni 中への Gl の擴散 (Laissus, J. R. de M<sup>t</sup>, Jan 1938)**

Masing 及び Dahl に依れば此の系の Ni 側の平衡圖は第 1 圖の如くである。著者が實驗に用ひた Ni は次の不純物を有する。  
 $Cu=0.15$ ,  $Si=0.14$ ,  $Fe=0.18$ ,  $Mn=0.35$ ,  $C=0.10$ 。試料は直徑 8 mm, 長さ 10 mm の圓筒形となした。80% Ferro-Gl は 100 目篩に碎かれ、粉末の燒結を避ける爲に此れに少量の酸化 Gl を加へた。擴散後顯微鏡組織を調べると共に表面の硬度も見た。

第 1 圖



第 2 圖



擴散機構—Czopiowski が 1,000°C にて Gl は Ni 中に固溶する事を指摘したが、著者は 800°C から餘りよく分離はして居ないが亞共晶と共晶の存在を見出した。此の共晶は ( $\alpha + NiGl$ ) 試料表面に極めて明瞭な帶を作り、その厚みは  $1/100 mm$  の程度である。此れより内部にある層は  $\alpha$  固溶體より成る。溫度が上昇すれば過共晶帶が出來て、 $NiGl$  の孤立した結晶が明瞭に見られる。

加熱溫度の影響：一漸次溫度を高めると以上述べた各組織が順次に現はれるのを見る。800°C で共晶帶を見、900°C で過共晶帶が現はれる。1,000°C で最外層に  $NiGl$  が出來、これは 1,100°C でよく發達して相連絡するに至る。 $NiGl$  の結晶と共に共晶の見られるのは 1,150°C に於てである。擴散層の厚みと時間及び溫度との關係は圖に示す如くである。

大體時間及び溫度に比例して厚みは増加する。

硬度は Vickers 硬度計で測定した。其の結果は上圖の如くである。

(S. O.)

**9) 化 學 分 析**

**金屬及び合金の微量分析 (Leroy, A. R. de M<sup>t</sup>, Mars 1938)** 鐵鋼の微量分析の爲には分光學的方法が用ひられるが、此の正確度は 2~5% の範圍であり、操作は極めて複雑で且成分の空間的配置を知る事は出来ない。故に著者は次の方法に依る微量分析

を研究した。即ち、極めて清潔にして且その直徑が約 0.5 mm の高速度鋼製錐で極微量の試料を各所から採取し此れを特殊な方法で分析した。試料採取前に微硬度計で其の部分の硬度を測定し、此の點を試料採取の目標とする。

合金中の定量すべき元素量と不均一性の程度に應じて許容されるべき誤差は異て来る。例へば鋼中に約 1% の Mn が含有される場合、其の誤差は 0.01% 程度である。P の場合は 0.001% 程度、Cr は普通の鋼の場合は Mn と同様であるが、Cr 含有量高き特殊鋼に於ては相對誤差を 1/200~1/300 に下げる事が出来る。

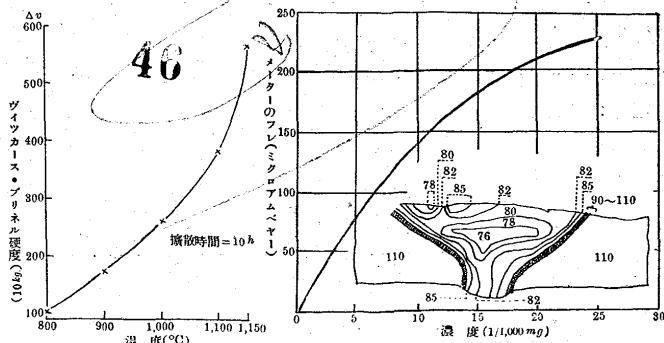
試料採取は極微量である爲に注意深く行はなければならぬが、これが正しく行はれたとすれば、誤差の原因は試料の秤量と分析技術の巧拙に依る。

此處に於て秤量は如何になすかと言へば、小なる磁製ポートに入れて行ふ。此のポートは鐵中の C の定量等に用ひられるものである。試料は次いで小なるエルレンマイヤーに入れられる。其の際蒸溜水でよく洗ひ落す、かくして酸で溶解するのである。ポートは 110°C で乾燥され、空中で冷却してから再び使用される。

分析法としての重量法は試料が微量の爲に行はれない。その代り微量滴定及び微量比色法が用ひられる。又銅合金には微量電解法が賞用される。

要するに如何なる分析も迅速に行はれねば無意味である。滴定法を應用出来る爲には、色の變化を明かに見られる如く液が相當濃厚であり且  $1/100 cc$  まで正確で且滴の大きさが  $1/125 cc$  程度のビュレットを用ひねばならぬ。

比色法は測定は迅速であるがその正確度は餘り高くない缺點がある。然し著者は 1% 以内の誤差で定量出来る比色計を考案した。その測定の原理は光電池を用ひて液の着色度を光の吸收から測定するのである。光源は同時に 2 個の光電池を輝す。1 個は“検出電池”である。言ふ迄も無く此れに用ひる電流計等は正確に calibrate しなければならぬ。最初一方の光電池と光源間に蒸溜水を置いて電流計に電流が流れぬ如く調整する。次いで著色した液體を置けば光電池の受ける光量が減じ電流が流れてその吸收量を知り此れより濃度を測定する。測定を正確にする爲には光源の電壓を一定に保たねばならぬ。光源附近の濃度上昇に依り調節に狂ひを生ずるから通風に注意せねばならない。



此の裝置を用ひて得た calibration の曲線は上圖の如くである。

以上の應用として著者は熔接部に於ける化學組成が如何に變化して居るかを検した。試料は 1% Mn を含む普通鋼で酸素-アセチレン焰接法を用ひ、其の焰接棒と、焰接される材料の組成は同一で  $C 0.43\%$ ,  $Si 0.20\%$ ,  $Mn 1.10\%$ ,  $S 0.016\%$ ,  $P 0.015\%$ 。分析によつて知た Mn の分布は圖の如くである。此れより酸素アセチレン法に依て焰接中に酸化の影響が如何になつて居るかを見られ

る。即ち最も  $Mn$  が少なくなつた所で 0.76% にまで至つて居る。(S. O.)

**金屬の酸化に就て(第5報)一熔融鉛の酸化** (Bircumshaw, L.L. Preston, G.D. Phil. Mag. May 1938) 試料は純水素中で 700°C に 1 時間加熱され次いでアルゴンに置換して希望する温度に持ち來され、アルゴンを排出して純酸素を反応器中に入れた。酸化の進行度は酸素の圧力減少の測定より導かれた。此の結果から Tamman の法則  $w^2 = 2kt$  が成立するや否やを検した。此處に  $w$  は  $t$  なる時間に単位面積から吸收される酸素の量である。然し著者は此れを微分して  $w \cdot dw/dt = k$  の形となし、 $k$  は圧力には無関係な常数とした。此れから簡単な計算の結果  $(p-a)^2 = bt+c$  を得た。 $a, b, c$  はそれぞれ常数である。此の  $a, b, c$  を計算したが或る範囲内では実験結果とよく一致するのを見た。此の範囲を擴張する爲に  $k$  は  $p$  を比例する量として  $w \cdot dw/dt = kp$  とし、此れより  $p - p_0/p_0 - a \log p/p_0 = bt$  を得た。此の式は更に廣い範囲に亘て實驗と一致するを證した。次いで著者は實驗に依て得た酸化膜を X 線回折法により檢した。各温度に於て初期酸素圧の異なる試料はいづれも同様な結果を與へ、最上層は斜方  $PbO$  の黄色膜より成り (001) 面が表面に平行である。此の方向性は強く、凝固其他の原因で歪んだ單結晶より成るもの如くである。此の下の層は赤色の正方  $PbO$  より成り此の (001) 面がやはり金属面に平行である如くであるが、此の正方  $PbO$  は常に現はれるものではない。以上の結果は電子回折法に依り得られた結果とよく一致する。(S. O.)

#### 鐵鹽の存在の下に於ける銅の電解析出の機構に就いて

(Max Geloso et Pierre Deschamps. C. R. 4 avril 1938, No. 14) 鐵鹽の存在する場合、銅の迅速電解分析は餘りよく一致した値を與へぬ。此の時 2 つの現象が同時に且相反して起る。即ち其の速度が電流密度に依て變化する銅の電着及び次式に相當する銅の溶解が此れである。



溶解の速度は特に次の事實に關係を持つ。

a) 温度: 一條件が嚴密に定められたる場合に於ける銅の電着は 30°C にて完全で、60°C では零である。それで 44°C に於て次の結果が得られる。

電解時間(分)	10	25.0	35
電着銅重量(mg)	55.5	22.5	0

b) 揣拌: -30°C で毎分 187 回転の時に銅の電着が完全なる場合、毎分 620 回転とすれば

電解時間(分)	60	210
電着銅重量(mg)	93	5

電流: 一電壓

用ひた電池は  $Hg | Hg_2Cl_2 | KCl | NH_4NO_3 |$  陰極 で陰極電壓は電解中に記録せられた。

一般に此の電流電壓曲線は次に圖示するが如きである。

AB なる部分にて第 2 鐵鹽が還元される。此の還元は全部完了はしない。その一例として電解中に液をとつて第 1 鐵鹽の分析をした所が次の如くである。

液を採取せる (volts) 0.42 0.39 0.33 0.20 -0.44 -0.50 -0.69 時の電壓

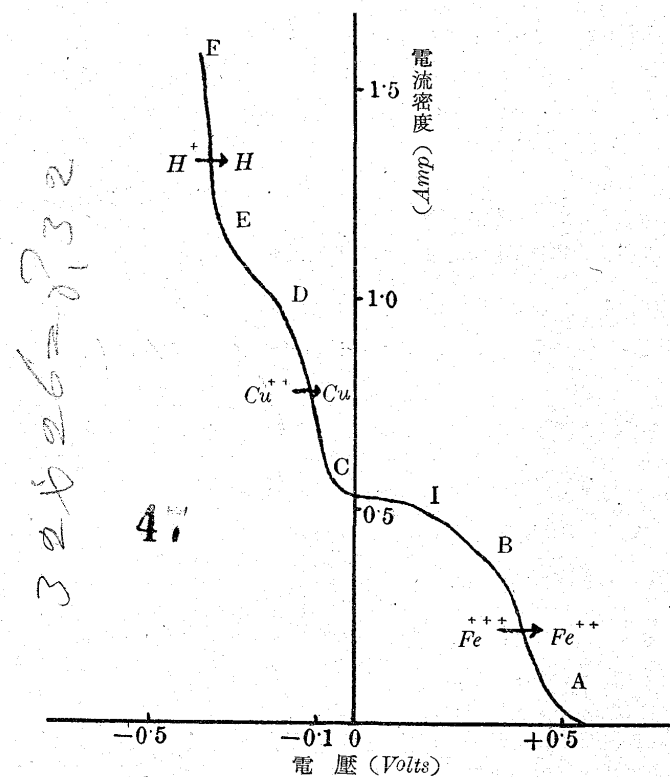
還元された鐵(%) 13 14 17 18 27 30 44

$Fe^{++}$  の增加は、陰極の還元が陽極の酸化によつて補正されるので最初は僅かであるが、陽極の酸化がなくなつた時から電流密度の増加と共に増す。

CD 部分は銅の電着を意味する。EF は水素発生に相當する。

溫度は鐵の還元の有様を變せしめる。各温度に於て I なる屈曲點の縱軸を決定すれば次の値が得られる。

溫度 °C	24	27	38	55
水平部分の電流密度(Amp)	0.77	0.94	1.42	2.10



攪拌も同様な影響を持つ。30°C に於て

攪拌速度(毎分の迴轉數)	187	270	420	850
水平部分の電流密度(Amp)	0.69	0.93	1.42	1.90

若し電解室が離れて居る時は、曲線上に  $Fe^{+++}$  の還元に相當する AB なる部分は現はれぬ。間流密度の増加が示す如く反応は存在するのであるが、陽極からの  $Fe^{+++}$  に対する補正が無いので陰極は絶えず分極を起す。

最後に第 2 鐵鹽による金屬銅の溶解は potentiometer で測定された。電壓-時間の曲線は銅の溶解に相當する屈曲部を持つ。溶解速度は  $Fe^{+++}$  濃度の増加と共に増す。第 1 鐵鹽は此の反応を接触剤的に助ける。電壓の平均は溶解の最後に於て、第 2 銅となつて居ると想像して計算した値に近い。(計算 +0.04 volt, 實驗 +0.01 volt) (S. O.)

#### 11) 雜

**冶金工場に於ける同期的電氣傳達法の採用** (Marcel Latapie, Rev. de Mét. Avril 1938) 軍艦に於ては電氣傳達法を用ひ、觀測塔より各砲塔へ命令を傳達して居る。此れは相當以前から行はれ、裝置も堅固で信頼度は高い。著者は此れを冶金工場に應用した。

工場に於て命令や意見を急速に多くの建物間で交換する場合が多い。特に其の建物が相當離れて存在する場合であるとか、其處に存在する機械の操作を急いでなさねばならず且操作の遅れる事に依て重大な災害の起る場合等は猶更である。電話は遅く複雑で費用も高く機械の音に妨げられて聞とれぬ事や間違へる事も少くない。

著者の工場では以上の電話の不充分さを補ふ爲に電氣傳達法を採用して其の接續を次の如くにした。

(1) 本部—高爐ガス清淨工場—汽罐工場

(2) 高爐—送風工場

かくの如き連絡に依て手數も簡略化し、安全率も増し高爐の操業も順調であると著者は報して居る。(S. O.)